MÉMORIAL DES SCIENCES MATHÉMATIQUES

TH. DE DONDER

Application de la gravifique einsteinienne à l'électrodynamique des corps en mouvement

Mémorial des sciences mathématiques, fascicule 58 (1932)

http://www.numdam.org/item?id=MSM 1932 58 1 0>

© Gauthier-Villars, 1932, tous droits réservés.

L'accès aux archives de la collection « Mémorial des sciences mathématiques » implique l'accord avec les conditions générales d'utilisation (http://www.numdam.org/conditions). Toute utilisation commerciale ou impression systématique est constitutive d'une infraction pénale. Toute copie ou impression de ce fichier doit contenir la présente mention de copyright.



Article numérisé dans le cadre du programme Numérisation de documents anciens mathématiques http://www.numdam.org/

MÉMORIAL

DES

SCIENCES MATHÉMATIQUES

PUBLIÉ SOUS LE PATRONAGE DE

L'ACADÉMIE DES SCIENCES DE PARIS,

DES ACADÉMIES DE BELGRADE, BRUXELLES, BUCAREST, COÏMBRE, CRACOVIE, KIEW,
MADRID, PRAGUE, ROME, STOCKHOLM-(FONDATION MITTAG-LEFFLER),
DE LA SOCIÉTÉ MATHÉMATIQUE DE FRANCE, AVEC LA COLLABORATION DE NOMBREUX SAVANTS.

DIRECTEUR :

Henri VILLAT

Membre de l'Institut, Professeur a la Sorbonne, Directeur du « Journal de Mathématiques pures et appliquées ».

FASCICULE LVIII

Application de la Gravifique einsteinienne à l'Électrodynamique des Corps en mouvement

PAR M. TH. DE DONDER





PARIS

GAUTHIER-VILLARS ET C., ÉDITEURS

LIBRAIRES DU BUREAU DES LONGITUDES, DE L'ÉCOLE POLYTECHNIQUE Quai des Grands-Augustins, 55.

1932

Tous droits de traduction, de reproduction et d'adaptation réservés pour tous pays.

APPLICATION

DE LA

GRAVIFIQUE EINSTEINIENNE

A

L'ÉLECTRODYNAMIQUE DES CORPS EN MOUVEMENT

Par Th. DE DONDER

AVANT-PROPOS.

Le présent fascicule termine la synthèse gravifique qui a été développée dans les fascicules VIII, XIV et XLIII du Mémorial des Sciences mathématiques, parties de cette synthèse qui seront indiquées dans la suite par I, II ou III. On y verra traitées l'électrodynamique des corps en mouvement, l'électromagnétostriction, les tensions de radiations, l'hystérèse, la thermodynamique relativiste. Cette méthode générale fournit immédiatement la relativité restreinte. Le dernier chapitre est consacré à la généralisation de la mécanique ondulatoire de Dirac. La table des matières qui figure à la fin de ce fascicule indique en détail le plan de cet ouvrage.

CHAPITRE I.

APPLICATION A L'ELECTROMAGNÉTOSTRICTION.

1. Champ gravifique massique et électromagnétique. — Nous avons vu (II, 8) que les dix équations fondamentales du champ gravifique pouvaient se déduire du principe variationnel

(1)
$$\frac{\delta(\mathfrak{I}\mathfrak{N}^g + \mathfrak{I}\mathfrak{I})}{\delta g^{\alpha\beta}} = 0.$$

Posons, comme au (II, 9 et 10),

$$\mathfrak{F}_{\alpha\beta}^{g} \equiv \frac{\delta \,\mathfrak{I} \mathfrak{k}^{g}}{\delta \, g^{\,\alpha\beta}},$$

$$\mathfrak{F}_{\alpha\beta} = -\frac{\delta \mathfrak{M}}{\delta \, \alpha^{\alpha\beta}}.$$

Nous savons que (II, 14)

(4)
$$\mathfrak{M}s = (a+bC)\sqrt{-g}.$$

D'autre part, nous poserons ici

où 97 est le facteur tensoriel massique, où

(6)
$$W' = g_{\alpha\beta} u^{\alpha} u^{\beta} = I,$$

et où $\mathcal{M}_{\star}^{(m)}$, $\mathcal{M}_{\star}^{(m,e)}$, $\mathcal{M}_{\star}^{(e)}$ représentent respectivement les fonctions caractéristiques des phénomènes massiques, massique-électromagnétiques et purement électromagnétiques. Nous dirons aussi que $\mathcal{M}_{\star}^{(m,e)}$ caractérise les phénomènes d'électromagnétostriction, ou plus simplement la striction.

Dans le cas le plus général, nous définissons la force électromagnétique par le tenseur antisymétrique (II, 309)

(7)
$$\mathcal{K}^{\alpha\beta} \equiv \mathcal{K}^{\alpha\beta} - \mathcal{T}^{\alpha\beta}_{(e)}$$

et la force électromagnétique adjointe par le tenseur antisymétrique (II, 312)

$$\mathcal{K}_{\star}^{\alpha\beta} \equiv \mathcal{H}_{\star}^{\alpha\beta} - \mathcal{R}_{(\mu)}^{\alpha\beta},$$

où (II, 303)

$$\mathcal{K}^{\alpha\beta}_{\star} \equiv H_{\alpha\beta}.$$

Nous avons proposé (f) de prendre comme fonction caractéris-

⁽¹⁾ Th. DE DONDER, The mathematical Theory of Relativity (Massachusetts Institute of Technology, Cambridge, Mass. 1927).

On remarquera que cette fonction $\mathfrak{M}_{\star}^{\mathcal{C}}$ est légèrement différente de la fonction écrite à la seconde ligne de (II, 315).

tique M' l'expression suivante

(10)
$$\mathfrak{M}_{\star}^{\prime r} \equiv \frac{1}{2} \sqrt{-g} g^{\alpha \beta} g^{ij} K_{\alpha i} \mathcal{K}_{\star}^{\overline{\beta j}}$$

En vertu de (3) et de (5), nous aurons

(11)
$$\mathcal{E}_{\alpha\beta} \equiv \mathcal{H} u_{\alpha} u_{\beta} + \mathcal{E}_{\alpha\beta}^{m} + \mathcal{E}_{\alpha\beta}^{(m,e)} + \mathcal{E}_{\alpha\beta}^{(e)}$$

où l'on a posé

(12)
$$\mathcal{E}_{\alpha\beta}^{(m)} \equiv -\frac{\partial \mathfrak{I}(x^m)}{\partial g^{\alpha\beta}},$$

(13)
$$\mathfrak{E}_{\alpha\beta}^{(m),e} = -\frac{\partial \mathfrak{M}_{\star}^{(m,e)}}{\partial g^{\alpha\beta}},$$

(14)
$$\mathbf{z}_{\alpha\beta}^{(e)} \equiv -\frac{\partial \mathcal{M}^{(e)}}{\partial g^{\alpha\beta}}.$$

En utilisant (10), nous trouvons

(15)
$$\mathfrak{F}_{\alpha\beta}^{c} = -\frac{\sqrt{-g}}{2} \sum_{i} \sum_{j} g^{ij} \left(\mathbf{K}_{\alpha i} \mathcal{K}_{\alpha}^{\overline{\beta}j} + \mathbf{K}_{\beta i} \mathcal{K}_{\alpha}^{\overline{\alpha}j} \right) + \frac{\sqrt{-g}}{4} g_{\alpha\beta} \sum_{j} \sum_{l} \sum_{j} g^{kl} g^{ij} \mathbf{K}_{ki} \mathcal{K}_{\alpha}^{l\overline{j}}.$$

Nous poserons ici

$$P_{\alpha\beta} \equiv T_{\alpha\beta}^{m} + T_{\alpha\beta}^{m,e}.$$

Ce tenseur $P_{\alpha\beta}$ se rapporte donc aux actions massiques et de striction.

De (11), on déduit le tenseur mixte total

(17)
$$\mathbf{T}_{\alpha}^{\beta} \equiv \mathbf{N} u_{\alpha} u^{\beta} + \mathbf{P}_{\alpha}^{\beta} + \mathbf{T}_{\alpha}^{\beta(e)}$$

où figure le tenseur mixte électromagnétique

(18)
$$T_{\alpha}^{\beta,(e)} \equiv -\frac{1}{2} \sum_{i} \sum_{j} \sum_{\mathbf{v}} g^{ij} g^{\mathbf{v}\beta} \left(\mathbf{k}_{\alpha i} \mathcal{B} \mathcal{C}_{\mathbf{v}}^{\vec{i}j} + \mathbf{K}_{\mathbf{v}i} \mathcal{B} \mathcal{C}_{\mathbf{v}}^{\vec{i}j} \right) + \frac{1}{4} \epsilon_{\alpha}^{\beta} \sum_{i} \sum_{j} \sum_{i} \sum_{j} g^{kl} g^{ij} \mathbf{K}_{ki} \mathcal{B} \mathcal{C}_{\mathbf{v}}^{\vec{i}j}.$$

Nous obtenons ainsi

$$T \equiv \sum_{\alpha} T_{\alpha}^{\alpha} = N + P,$$

οù

$$P \equiv \sum_{\alpha} P_{\alpha}^{\alpha}.$$

2. Théorème de l'impulsion et de l'énergie. — Ce théorème peut s'écrire sous la forme (II, 319)

(21)
$$\mathcal{F}_{\alpha} \equiv \mathcal{K}_{\alpha} + \mathcal{T}_{\alpha} + \mathcal{F}_{\alpha}^{(e)} = 0$$

où l'on a posé, comme au (II, 320),

(22)
$$\mathcal{I}_{\alpha} \equiv \mathcal{I} \Lambda_{\alpha} + u_{\alpha} \sum_{\beta} \frac{\partial \left(\mathcal{I} \mathcal{G} u^{\beta} \right)}{\partial x_{\beta}},$$

(23)
$$\mathcal{Z}_{\alpha} = \mathcal{Z}_{\alpha}^{\beta} \beta = \sum_{\beta} \left[\frac{\partial \mathcal{Z}_{\alpha}^{\beta}}{\partial x_{\beta}} - \frac{1}{2} \sum_{\gamma} \sum_{\varepsilon} g^{\beta \gamma} g_{\varepsilon \gamma, \alpha} \mathcal{Z}_{\beta}^{\varepsilon} \right]$$

ainsi que

(24)
$$\mathcal{F}_{\alpha}^{(e)} = \mathcal{F}_{\alpha}^{\beta(e)} = \sum_{\beta} \left[\frac{\partial \mathcal{E}_{\alpha}^{\beta(e)}}{\partial x^{\beta}} - \frac{1}{2} \sum_{\gamma} \sum_{\epsilon} g^{\beta \gamma} g_{\epsilon \gamma, \alpha} \mathcal{E}_{\beta}^{(e)} \right]$$

On voit par (23) et (24) que \mathfrak{T}_{α} et $\mathfrak{F}_{\alpha}^{(e)}$ sont respectivement les divergences covariantes de $\mathfrak{L}_{\alpha}^{\beta}$ et de $\mathfrak{E}_{\alpha}^{\beta(e)}$.

On obtient, après quelques réductions,

$$\begin{split} (\mathbf{25}) \quad & \mathcal{F}_{\alpha}^{(e)} \! \equiv \! -\frac{1}{2} \sum_{l} \! \frac{\partial}{\partial x_{l}} \left[\sqrt{-g} \sum_{c} \! \sum_{\mathbf{v}} \! \sum_{\mathbf{\tau}} g^{c\mathbf{v}} g^{\tau_{l}} \! \left(\mathbf{K}_{\alpha c} \mathcal{J} \mathcal{C}_{\mathbf{v}}^{\overline{\tau_{\mathbf{v}}}} \! + \mathbf{h}_{\mathbf{\tau_{c}}} \mathcal{J} \mathcal{C}_{\mathbf{v}}^{\overline{\alpha \mathbf{v}}} \right) \right] \\ & + \frac{1}{4} \sqrt{-g} \sum_{c} \! \sum_{l} \! \sum_{\mathbf{s}} \! \sum_{\mathbf{v}} g^{kl} g^{\mathbf{v}_{l}} \frac{\partial}{\partial x_{\alpha}} \left(\mathbf{K}_{kc} \mathcal{J} \mathcal{C}_{\mathbf{v}}^{\overline{t_{\mathbf{v}}}} \right). \end{aligned}$$

Nous avons montré comment, en vertu de (II, 321), l'équation (II, 319) pouvait aussi se mettre sous la forme (II, 322); dans cette dernière équation le symbole $\mathcal{F}_{\alpha}^{(e)}$ a la valeur donnée par (24) ou (25).

3. Équations maxwelliennes généralisées. — Pour fixer les idées, supposons que x_1, x_2, x_3 représentent des coordonnées rectangulaires dextrogyres, et que x_4 représente le temps t. Au lieu de x_4 , x_2 , x_3 nous emploierons aussi la notation x, y, z. Il est commode d'employer les notations habituelles de l'électromagnétisme, en

posant

Dans ces tableaux, les symboles ont la signification physique suivante:

$$(\mathcal{U}_r, \mathcal{H}_1, \mathcal{H}_2) \equiv \text{compo-antes de la } force \; magnétique,$$

 $(\mathcal{B}_r, \mathcal{B}_1, \mathcal{B}_2) \equiv \text{composantes de l'induction } magnétique.$

D'autre part, on a posé

$$(26') \qquad \mathbf{H}_{x}^{\star} \equiv \mathbf{H}_{x} - \mathbf{H}_{x}^{a}; \qquad \mathbf{H}_{y}^{\star} \equiv \mathbf{H}_{y} - \mathbf{H}_{y}^{a}; \qquad \mathbf{H}_{z}^{\star} \equiv \mathbf{H}_{z} - \mathbf{H}_{a}^{z}$$

οù

$$(H_x, H_1, H_2) \equiv$$
 composantes de la force électrique,
 $(H_x^a, H_1^a, H_2^a) \equiv$ composantes de la force électrique appliquée (eingepragt).

Enfin

$$(B_r, B_r, B_s) \equiv$$
composantes de l'induction électrique.

Il est presque inutile d'ajouter que toutes ces expressions doivent être entendues dans un sens généralisé.

Retournons aux équations du champ maxwellien généralisé données par (II, 324 et 325); à savoir

$$\frac{d\mathcal{J}C\alpha\beta}{dx_{\beta}} = C^{\alpha},$$

(27)
$$\frac{d\mathcal{K}^{\alpha\beta}}{dx_{\beta}} = C^{\alpha},$$
(28)
$$\frac{d\mathcal{K}^{\alpha\beta}}{dx_{\beta}} = C^{\alpha}_{\star}.$$

On y a posé, pour les courants,

(29)
$$C^{\alpha} \equiv \sigma_{(e)} u^{\alpha} + \mathcal{L}^{\alpha}_{(e)},$$
(30)
$$C^{\alpha}_{\star} \equiv \sigma_{(\mu)} u^{\alpha} + \mathcal{L}^{\alpha}_{(\mu)},$$

(30)
$$C^{\alpha}_{\star} \equiv \sigma_{(\mu)} u^{\alpha} + \mathcal{L}^{\alpha}_{(\mu)},$$

où l'indice (e) signifie électrique, et l'indice (μ), magnétique.

De (27) et (28), on déduit respectivement

(30')
$$\frac{dC^{\alpha}}{dx^{\alpha}} = 0, \qquad \frac{dC^{\alpha}_{\star}}{dx^{\alpha}} = 0.$$

Grâce aux notations (26), les équations électromagnétiques (27) et (28) des corps en mouvement conservent la forme maxwellienne

(31)
$$\begin{cases} \operatorname{div} B = \sigma_{(e)} u^{i} + \mathcal{L}^{4}_{(e)}, \\ \operatorname{div} \mathcal{B} = \sigma_{(\mu)} u^{i} + \mathcal{L}^{4}_{(\mu)}; \end{cases}$$

(32)
$$\begin{cases} \operatorname{rot} \mathcal{H} = \frac{1}{c} \left(\frac{\partial \mathbf{B}}{\partial t} + \tau_{(c)} u + \mathcal{L}_{(e)} \right), \\ \operatorname{rot} \mathbf{H}^{\star} = \frac{1}{c} \left(-\frac{\partial \mathcal{B}}{\partial t} + \tau_{(\mu)} u + \mathcal{L}_{(\mu)} \right). \end{cases}$$

Les composantes rectangulaires de vecteur $\sigma_{(e)} u + \mathcal{L}_{(e)}$ sont

$$\sigma_{(e)}u^i+\mathcal{L}^i$$
 $(i=1,2,3).$

ll en sera de même pour le vecteur $\sigma_{(\mu)}u + \mathfrak{L}_{(\mu)}$.

4. Hystérèse électromagnétique. — Par définition (1), l'hystérèse électromagnétique est un quadrivecteur $\mathcal{H}_{\alpha}^{(e)}(\alpha=1,2,3,4)$ donné par

$$\mathcal{H}_{\alpha}^{P} \equiv \mathcal{L}_{\alpha} - \mathcal{F}_{\alpha}^{P}$$

où nous avons posé

(33')
$$\mathcal{L}_{\mathbf{z}} \equiv \mathcal{K}_{\star}^{\overline{\alpha}\overline{\beta}} \frac{d\mathcal{K}^{\beta\gamma}}{dx_{\gamma}} - \mathcal{K}^{\overline{\alpha}\overline{\beta}} \frac{d\mathcal{K}_{\star}^{\beta\gamma}}{dx_{\gamma}}.$$

L'expression \mathcal{L}_{α} donnée par (33') est, en vertu de (II, 159), identique à $\mathcal{F}_{\alpha}^{(e)}$, dans les systèmes dépourvus de polarisation électrique et magnétique. Il en résulte que l'hystérèse $\mathcal{H}_{\alpha}^{(e)}$ est essentiellement due à ces polarisations.

En vertu des équations maxwelliennes (27) et (28), l'hystérèse définie par (33) peut aussi s'écrire

(3.1)
$$\mathcal{H}_{\alpha}^{e} \equiv \left[\mathcal{J} C_{\star}^{\overline{\alpha}\overline{\beta}} C^{\beta} - \mathcal{J} C_{\star}^{\overline{\beta}} C^{\beta}_{\star} \right] - \mathcal{F}_{\alpha}^{(e)}.$$

En coordonnées rectangulaires, on aura les trois composantes spatiales

(35)
$$\mathcal{H}_{i}^{P} \equiv \mathcal{L}_{i} - \mathcal{F}_{i}^{P} \quad (i = 1, 2, 3).$$

⁽¹⁾ Th. DE DONDER, La Thermodynamique relativiste des systèmes électromagnétiques en mouvement (C. R. Acad. Sc., Paris, 2 juillet 1928, p. 28-30).

et la composante temporelle ($\alpha = 4$)

$$\mathcal{H}_{4}^{(e)} \equiv \mathcal{L}_{4} - \mathcal{F}_{5}^{(e)}.$$

En se reportant aux notations (27), on voit immédiatement que les trois composantes

(37)
$$\mathcal{L}_{i} \equiv \mathcal{K}^{\beta}_{i} \mathbf{C}^{\beta} - \mathcal{K}^{\overline{\beta}}_{i} \mathbf{C}^{\beta}_{i} \qquad (i = 1, 2, 3)$$

peuvent se mettre sous la forme vectorielle

(38)
$$\mathcal{L} = [C.\mathcal{B}] + cH^*C^* + [C_*.B] - c\mathcal{B}C^*$$

où C est le courant électrique représenté dans (32) par

$$C = \sigma_{(c)} u + \mathcal{L}_{(c)},$$

et où C, est le courant magnétique représenté dans (32) par

(40)
$$C_* = \sigma_{(\mu)} u + \mathcal{L}_{(\mu)}.$$

Enfin, on a posé, dans (38),

$$C^{i} = \sigma_{(e)} u^{i} + \mathcal{L}^{i}_{F}.$$

(42)
$$C_{\star} = \sigma_{(\mu)} u^{\flat} + \mathcal{L}_{\iota \mu}^{\flat}.$$

En vertu de (II, 229 et 230), on a

(42')
$$\sigma_{(e)} u^{i} = \varphi; \quad \sigma_{(e)} u^{i} = \varphi v^{i} \quad (i = 1, 2, 3).$$

L'expression (38) nous permet de dire que (37) représente les composantes de la force de Lorentz généralisée, multipliées par c.

Passons à

(43)
$$\mathcal{L}_{4} \equiv \left[\mathcal{K}_{4}^{\overline{1}\overline{\beta}} C^{\beta} - \mathcal{K}_{4}^{\overline{4}\overline{\beta}} C^{\beta}_{4} \right],$$

qui figure dans (36). En se reportant aux notations (27), on voit immédiatement que cette expression (43) peut s'écrire vectoriellement comme suit

$$\mathcal{L}_{\downarrow} = -c(\Pi^{\star}.C) + c(\mathcal{U}.C_{\bullet}).$$

Ce résultat nous permet de dire que (43) représente l'effet Joule généralisé, multiplié par c et changé de signe.

5. Théorème de l'impulsion et de l'énergie électromagnétique. —

En vertu de (24) et de (34), on a

(45)
$$\mathcal{B}_{\alpha}^{\beta} \stackrel{(e)}{\beta} = \left[\mathcal{K}_{\alpha}^{\overline{\alpha}\beta} C^{\beta} - \mathcal{K}_{\alpha}^{\overline{\alpha}\beta} C^{\beta}_{\alpha} \right] - \mathcal{B}_{\alpha}^{(e)}.$$

Ces quatre équations expriment le théorème de l'impulsion et de l'énergie électromagnétique.

Reprenons les coordonnées rectangulaires dextrogyres utilisées ci-dessus, et reportons-nous à (24) que nous écrivons comme suit (1):

(46)
$$\mathfrak{F}_{\alpha}^{\beta}[\beta] = \sum_{\varsigma} \frac{\partial \mathcal{C}_{\alpha}^{\beta}(e)}{\partial x^{\beta}} + \Theta_{\alpha},$$

où l'on a posé

(46')
$$\Theta_{\alpha} \equiv -\frac{1}{2} g^{\beta \gamma} g_{\gamma,\alpha} \mathcal{E}_{\beta}^{\epsilon(r)}$$

en sous-entendant les signes sommatoires.

Considérons d'abord les trois composantes rectangulaires spatiales; alors (45) et (46) nous donnent, pour $\mathcal{F}_{i}^{(c)}$, les expressions

(47)
$$\sum_{\beta=1}^{i} \frac{\partial \mathcal{E}_{t}^{\beta(e)}}{\partial x_{\beta}} + \Theta_{t} = \sum_{P} \left[\mathcal{K}_{x}^{\beta} C^{\beta} - \mathcal{K}_{t}^{\beta} C^{\beta} \right] - \mathcal{H}_{t}^{(e)} \qquad (i = 1, 2, 3).$$

Multiplions les deux membres de (47) par

$$\delta v \equiv \delta x \, \delta y \, \delta z,$$

et intégrons au volume c pris dans le champ électromagnétique considéré; d'où, en désignant par σ la surface limitant ce volume, et par n la demi-normale extérieure à σ ,

(49)
$$\int_{c}^{c} \left[\mathfrak{F}_{t}^{1+e^{i}} \cos(n,x) + \mathfrak{F}_{t}^{3+e^{i}} \cos(n,y) + \mathfrak{F}_{t}^{3+e^{i}} \cos(n,z) \right] d\tau + \frac{\partial}{\partial t} \int_{c}^{c} \mathfrak{F}_{t}^{1+e^{i}} \delta \nu$$

$$= \int_{c}^{c} \left\{ \left[C \cdot \mathcal{B} \right]_{t} + c H_{t}^{*} C^{t} + \left[C_{*} \cdot B \right]_{t} - c \mathcal{H}_{t} C^{t} + \mathcal{H}_{t}^{(e)} - \Theta_{t}^{1} \right\} \delta \nu$$

$$(i = 1, 2, 3).$$

Nous appellerons

$$(49') \qquad \qquad \int_{\nu} \mathfrak{E}_{i}^{V(e)} \delta \nu$$

⁽¹⁾ Cf. Th. De Donder, Théorie du champ électromagnétique de Maxwell-Lorentz et du champ gravifique d'Einstein (Archives du Musée Teyler, 2° série. t. III, p. 85).

les trois composantes des quantités de mouvement (ou d'impulsion) du champ électromagnétique, multipliées par c; c'est le vecteur de Max Abraham généralisé, multiplié par c.

D'autre part, le tableau

doit être considéré comme le tenseur électromagnétique de Maxwell généralisé, multiplié par c.

Passons à la quatrième composante ($\alpha = 4$); alors (45) nous fournit $\mathcal{F}_{4}^{(a)}$; à savoir

(50)
$$\sum_{\beta=1}^{4} \frac{\partial \mathcal{C}_{\lambda}^{\beta(e)}}{\partial x_{\beta}} + \Theta_{4} = \left[\mathcal{S}_{\lambda}^{-\beta} C^{\beta} - \mathcal{S}_{\lambda}^{-\beta} C^{\beta}_{\lambda} \right] - \mathcal{B}_{\lambda}^{(e)}.$$

La relation (50) nous fournit le bilan énergétique purement électromagnétique.

Multiplions les deux membres de (50) par de, et intégrons comme ci-dessus; d'où

$$\begin{split} (51) & \quad \int_{\sigma} \left[\mathfrak{F}_{4}^{1/e_{1}} \cos(n,x) + \mathfrak{F}_{4}^{2/e_{1}} \cos(n,y) + \mathfrak{F}_{4}^{3/e_{1}} \cos(n,z) \right] \delta \sigma + \frac{\partial}{\partial t} \int_{\nu} \mathfrak{F}_{4}^{3/e_{1}} \delta \nu \\ = & \int_{\nu} \left\{ -c(\mathbf{H}^{\star},\mathbf{C}) + c(\mathcal{H},\mathbf{C}_{\star}) - \mathcal{H}_{4}^{(e_{1})} - \mathbf{O}_{4} \right\} \delta \nu. \end{split}$$

Nous appellerons

(51')
$$\mathcal{E}_{1}^{(e)}, \mathcal{E}_{2}^{(e)}, \mathcal{E}_{3}^{(e)}$$

les trois composantes du vecteur radiant de Poynting généralisé, multiplié par c.

D'autre part,

s'appellera la densité de l'énergie électromagnétique de Maxwell généralisée, multipliée par c.

Rappelons que les dimensions des $\mathcal{C}^{\beta}_{\alpha}$ ou $\sqrt{-g} \, T^{\beta}_{\alpha}$ ont été données pages g et 10 de II (fascicule XIV de ce *Mémorial*).

Remarque. - Il sera intéressant, au point de vue des interpréta-

tions mécanique et énergétique, de remplacer, dans (21), \mathcal{F}_{α}^{c} par ses valeurs données par (47) et (50).

6. Équation de continuité. — Retournons aux équations (21) et multiplions-les par u^x ; d'où, en vertu de (I, 210), l'équation de continuité

(52)
$$\frac{\partial (\mathcal{X} u^{\alpha})}{\partial x^{\alpha}} + (\mathcal{T}_{\alpha} + \mathcal{F}_{\alpha}^{(c)}) u^{\alpha} = 0.$$

En utilisant les notations de la théorie des invariants intégraux ('), (52) pourra s'écrire

$$\frac{d}{ds}[\mathfrak{R}\delta(x^1,\ldots,x^k)] = -(\mathfrak{A}_{\alpha} + \mathfrak{F}_{\alpha}^{e^*})u^{\alpha}\delta(x^1,\ldots,x^k).$$

Transformons l'équation (52); reportons-nous à (23) et (16), d'où

(53)
$$\frac{\partial (\mathcal{H} u^{\alpha})}{\partial x_{\alpha}} + \left(\mathcal{E}_{\alpha,\beta}^{\beta(m)} + \mathcal{E}_{\alpha,\beta}^{\beta(m,e)} + \mathcal{E}_{\alpha,\beta}^{\beta(e)} \right) u^{\alpha} = 0.$$

On vérifiera aisément que

(54)
$$\mathcal{E}_{\alpha,\beta}^{\beta(m)} u^{\alpha} \equiv \frac{\partial \left(\mathcal{E}_{\alpha}^{\beta(m)} u^{\alpha}\right)}{\partial x_{\beta}} + \mathcal{K}^{(m)}$$

οù

$$(55) \qquad \mathcal{K}^{(m)} = -\frac{1}{4} \left(\mathcal{E}_{\alpha}^{\beta,(m)} + \mathcal{E}_{\beta}^{\alpha,(m)} \right) \left(\frac{\partial u^{\alpha}}{\partial x_{\beta}} + \frac{\partial u^{\beta}}{\partial x_{\alpha}} \right) \\ -\frac{1}{4} \left(\mathcal{E}_{\alpha}^{\beta,(m)} - \mathcal{E}_{\beta}^{\alpha,(m)} \right) \left(\frac{\partial u^{\alpha}}{\partial x_{\beta}} - \frac{\partial u^{\beta}}{\partial x_{\alpha}} \right) - \frac{1}{2} \frac{dg_{\alpha\beta}}{ds} \mathcal{E}_{(m)}^{\alpha\beta}.$$

On effectuera la même transformation pour les deux autres termes qui figurent dans (53), et l'on posera

$$(56) \begin{array}{c} \mathcal{SC}^{(m,e)} \equiv -\frac{1}{4} \left(\mathfrak{F}_{\alpha}^{\beta \, (m,e)} + \mathfrak{F}_{\beta}^{\alpha \, (m,e)} \right) \left(\frac{\partial u^{\alpha}}{\partial x_{\beta}} + \frac{\partial u^{\beta}}{\partial x_{\alpha}} \right) \\ -\frac{1}{4} \left(\mathfrak{F}_{\alpha}^{\beta \, (m,e)} - \mathfrak{F}_{\beta}^{\alpha \, (m,e)} \right) \left(\frac{\partial u^{\alpha}}{\partial x_{\beta}} - \frac{\partial u^{\beta}}{\partial x_{\alpha}} \right) - \frac{1}{2} \frac{d \mathcal{E}_{\alpha \beta}}{ds} \, \mathfrak{F}_{(m,e)}^{\alpha \beta} \end{array}$$

⁽¹⁾ The De Donder, Théorie des Invariants intégraux (Gauthier-Villars, Paris, 1927; voir spécialement p. 32).

et

$$(57) \qquad \mathcal{K}^{(e)} \equiv -\frac{1}{4} \left(\mathcal{E}_{\alpha}^{\beta (e)} + \mathcal{E}_{\beta}^{\alpha (e)} \right) \left(\frac{\partial u^{\alpha}}{\partial x_{\beta}} + \frac{\partial u^{\beta}}{\partial x_{\alpha}} \right) \\ -\frac{1}{4} \left(\mathcal{E}_{\alpha}^{\beta (e)} - \mathcal{E}_{\beta}^{\alpha (e)} \right) \left(\frac{\partial u^{\alpha}}{\partial x_{\beta}} - \frac{\partial u^{\beta}}{\partial x_{\alpha}} \right) - \frac{1}{2} \frac{dg_{\alpha\beta}}{ds} \mathcal{E}_{(e)}^{\alpha\beta}.$$

D'où, enfin, l'équation de continuité devient

(58)
$$\frac{\partial \left[\mathcal{R} u^{\beta} + \left(\mathcal{C}_{\alpha}^{\beta (m)} + \mathcal{C}_{\alpha}^{\beta (m,e)} + \mathcal{C}_{\alpha}^{\beta (e)} \right) u^{\alpha} \right]}{\partial x_{\beta}} + \mathcal{K} = 0$$

où

(58')
$$\mathcal{K} \equiv \mathcal{K}^{(m)} + \mathcal{K}^{(m,e)} + \mathcal{K}^{(e)}.$$

Nous dirons que \mathcal{K} est la *puissance totale* (par unité de volume) du système en (x, y, z, t).

7. Puissance de striction et puissance d'hystérèse. — Nous dirons que $\mathcal{K}^{m,c}$ défini par (56) est la *puissance* (par unité de volume) de la striction. En généralisant une hypothèse de la théorie classique de l'électromagnétostriction, nous admettrons (1) qu'on a

$$(59) \mathcal{JC}^{(m,e)} = \mathcal{JC}^{(e)}_{\alpha} u^{\alpha}.$$

Autrement dit : la puissance de striction est égale à la puissance d'hystérèse.

8. Système électromagnétique au repos dans un champ de Minkowski. — En se reportant à (18) et à (26) on trouvera, dans le cas d'un champ de Minkowski, le tenseur électromagnétique

⁽¹⁾ Th. DE DONDER. Thermodynamique relativiste des systèmes électromagnétiques en mouvement (C. R. Acad. Sc., Paris, t. 187, 2 juillet 1928, p. 28-30).

suivant:

$$T_{1}^{1(e)} = \frac{1}{2} [H_{x}^{*}B_{x} - H_{y}^{*}B_{y} - H_{z}^{*}B_{z} + \mathcal{H}_{x}\mathcal{B}_{x} - \mathcal{H}_{y}\mathcal{B}_{y} - \mathcal{H}_{z}\mathcal{B}_{z}],$$

$$T_{2}^{2(e)} = \frac{1}{2} [H_{y}^{*}B_{y} - H_{z}^{*}B_{z} - H_{x}^{*}B_{x} + \mathcal{H}_{y}\mathcal{B}_{y} - \mathcal{H}_{z}\mathcal{B}_{z} - \mathcal{H}_{z}\mathcal{B}_{z}],$$

$$T_{3}^{3(e)} = \frac{1}{2} [H_{z}^{*}B_{z} - H_{x}^{*}B_{x} - H_{y}^{*}B_{y} + \mathcal{H}_{z}\mathcal{B}_{z} - \mathcal{H}_{x}\mathcal{B}_{x} - \mathcal{H}_{y}\mathcal{B}_{y}],$$

$$T_{4}^{4(e)} = \frac{1}{2} [(H^{*} \cdot B) + (\mathcal{H} \cdot \mathcal{B})],$$

$$T_{4}^{2(e)} = T_{2}^{1(e)} = \frac{1}{2} [B_{x}H_{y}^{*} + B_{y}H_{x}^{*} + \mathcal{B}_{x}\mathcal{H}_{y} + \mathcal{B}_{y}\mathcal{H}_{x}),$$

$$T_{3}^{3(e)} = T_{3}^{1(e)} = \frac{1}{2} [B_{x}H_{z}^{*} + B_{z}H_{x}^{*} + \mathcal{B}_{x}\mathcal{H}_{z} + \mathcal{B}_{z}\mathcal{H}_{z}),$$

$$T_{4}^{3(e)} = T_{3}^{2(e)} = \frac{1}{2} [B_{y}H_{z}^{*} + B_{z}H_{y}^{*} + \mathcal{B}_{y}\mathcal{H}_{z} + \mathcal{B}_{z}\mathcal{H}_{y}],$$

$$T_{4}^{4(e)} = -\frac{1}{c^{2}} T_{4}^{1(e)} = \frac{1}{2c} [H_{z}^{*}\mathcal{H}_{y} + B_{z}\mathcal{B}_{y} - H_{y}^{*}\mathcal{H}_{z} - \mathcal{B}_{y}\mathcal{B}_{z}],$$

$$T_{3}^{4(e)} = -\frac{1}{c^{2}} T_{4}^{2(e)} = \frac{1}{2c} [H_{x}^{*}\mathcal{H}_{z} + B_{z}\mathcal{B}_{z} - H_{z}^{*}\mathcal{H}_{z} - B_{z}\mathcal{B}_{z}],$$

$$T_{3}^{4(e)} = -\frac{1}{c^{2}} T_{4}^{3(e)} = \frac{1}{2c} [H_{z}^{*}\mathcal{H}_{z} + B_{z}\mathcal{B}_{z} - H_{z}^{*}\mathcal{H}_{z} - B_{z}\mathcal{B}_{z}],$$

$$T_{3}^{4(e)} = -\frac{1}{c^{2}} T_{4}^{3(e)} = \frac{1}{2c} [H_{z}^{*}\mathcal{H}_{z} + B_{z}\mathcal{B}_{z} - H_{z}^{*}\mathcal{H}_{z} - B_{z}\mathcal{B}_{z}],$$

'Posons

(61)
$$\begin{cases} \theta_x^{(e)} = T_1^{1(e)}\cos(nx) + T_2^{9(e)}\cos(ny) + T_1^{3(e)}\cos(nz), \\ \theta_y^{(e)} = T_2^{1(e)}\cos(nx) + T_2^{9(e)}\cos(ny) + T_3^{3(e)}\cos(nz), \\ \theta_y^{(e)} = T_3^{1(e)}\cos(nx) + T_3^{9(e)}\cos(ny) + T_3^{3(e)}\cos(nz), \end{cases}$$

l'axe (n) 'étant la demi-normale à l'élément de surface auquel s'appliquent les tensions $T_{\ell}^{(e)}$. On vérifie alors aisément que $\theta^{(e)}$ donné par (61) peut se mettre sous la forme vectorielle

(62)
$$\theta^{(c)} = \frac{1}{2} \{ B.(H.N) + [B.[H.N]] + \mathcal{B}(\mathcal{H}.N) + [\mathcal{B}.[\mathcal{H}.N]] \},$$

si l'on représente par N un vecteur dont l'alignement est la deminormale (n) et dont la valeur algébrique est égale à 1.

Ainsi dans le cas où (n) coïncide avec l'axe des x, les composantes rectangulaires de θ seront précisément $T_{+}^{1}e^{i}$, T_{+}^{2ie} , T_{+}^{3ie} . En vertu de la définition (24) de \mathcal{F}_{α}^{i} et de ce que $g_{\alpha\beta,\gamma}=0$, on

aura ici Fa sous forme de divergence

(63)
$$F_{\alpha}^{(e)} = \sum_{\beta} \frac{\partial T_{\alpha}^{\beta(e)}}{\partial x_{\beta}}.$$

Calculons maintenant les quatre composantes de l'hystérèse électromagnétique $\mathcal{H}_{\alpha}^{(e)}$. Reportons-nous à (33); d'où, en utilisant la valeur de $\mathbf{F}_{\alpha}^{(e)}$ donnée par (63),

(64)
$$\Pi_{i}^{(e)} = -\sum_{i} \frac{\partial T_{i}^{f(e)}}{\partial x_{i}} - \frac{\partial T_{i}^{f(e)}}{\partial t} + L_{i}$$

et

(65)
$$\mathbf{H}_{\lambda}^{e} \equiv -\sum_{i} \frac{\partial \mathbf{T}_{\lambda}^{i,e}}{\partial x_{i}} - \frac{\partial \mathbf{T}_{\lambda}^{i,e}}{\partial t} + \mathbf{L}_{\lambda} \qquad (i, j = 1, 2, 3).$$

Quant aux valeurs de L, et de L₄, elles sont données par (38) et (44); rappelons qu'ici $\mathcal{L}_{\alpha} \equiv c L_{\alpha}$. Nous donnerons plus loin $[voir\ (71)]$ une autre forme importante de $\mathbf{H}_{\alpha}^{(e)}$.

La première équation (64) peut s'écrire, en vertu de (38),

(66)
$$\mathbf{H}_{1}^{(e)} \equiv -\sum_{l} \frac{\partial \mathbf{T}_{1}^{(l,e)}}{\partial x_{l}} - \frac{\partial \mathbf{T}_{1}^{(l,e)}}{\partial t} + \frac{1}{c} [\mathbf{C}.\mathcal{B}]_{a} + \mathbf{H}_{x}^{\star} \mathbf{C}^{i} + \frac{1}{c} [\mathbf{C}_{\star}.\mathbf{B}]_{x} - \mathcal{H}_{x} \mathbf{C}^{i}$$

ou encore, en utilisant (60),

$$(67) \qquad \mathbf{H}_{1}^{e} \equiv \frac{1}{2} \left[\left(\mathbf{H}^{*} \frac{\partial \mathbf{B}}{\partial x} \right) - \left(\mathbf{B} \frac{\partial \mathbf{H}^{*}}{\partial x} \right) + \left(\mathcal{B} \frac{\partial \mathcal{B}}{\partial x} \right) - \left(\mathcal{B} \frac{\partial \mathcal{B}}{\partial x} \right) \right]$$

$$+ \frac{1}{2} \frac{\partial}{\partial t} \left([\mathbf{H}^{*} \cdot \mathcal{H}]_{v} - [\mathbf{B} \cdot \mathcal{B}]_{x} \right)$$

$$+ \frac{1}{2} \operatorname{rot}_{v} \left([\mathcal{H} \cdot \mathcal{B}] + [\mathbf{H}^{*} \cdot \mathbf{B}] \right).$$

On aura deux expressions analogues pour H₂^(e) et H₃^(e); à savoir

(68)
$$H_{2}^{(e)} = \frac{1}{2} \left[\left(H^{*} \frac{\partial B}{\partial y} \right) - \left(B \frac{\partial H^{*}}{\partial y} \right) + \left(\mathcal{B} \frac{\partial \mathcal{B}}{\partial y} \right) - \left(\mathcal{B} \frac{\partial \mathcal{B}}{\partial y} \right) \right]$$

$$+ \frac{1}{2} \frac{\partial}{\partial t} \left([H^{*} \mathcal{B}]_{3} - [B \mathcal{B}]_{3} \right)$$

$$+ \frac{1}{2} \operatorname{rot}_{\gamma} \left([\mathcal{B} \mathcal{B}] + [H^{*} \mathcal{B}] \right)$$

et

$$(69) \qquad \mathbf{H}_{J}^{(e)} \equiv \frac{1}{2} \left[\left(\mathbf{H}^{\star} \frac{\partial \mathbf{B}}{\partial z} \right) - \left(\mathbf{B} \frac{\partial \mathbf{H}^{\star}}{\partial z} \right) + \left(\mathcal{H} \frac{\partial \mathcal{B}}{\partial z} \right) - \left(\mathcal{B} \frac{\partial \mathcal{H}}{\partial z} \right) \right]$$

$$+ \frac{1}{2} \frac{\partial}{\partial t} \left([\mathbf{H}^{\star}, \mathcal{H}]_{*} - [\mathbf{B}, \mathcal{B}]_{z} \right)$$

$$+ \frac{1}{2} \operatorname{rot}_{z} \left([\mathcal{H}, \mathcal{B}] + [\mathbf{H}^{\star}, \mathbf{B}] \right).$$

De même la relation (65) peut s'écrire

(70)
$$\mathbf{H}_{i}^{(e)} = -\sum_{j} \frac{\partial \mathbf{T}_{i}^{j(e)}}{\partial x_{j}} - \frac{\partial \mathbf{T}_{i}^{(e)}}{\partial t} - (\mathbf{H}^{*}.C) + (\partial \ell.C_{*}).$$

En utilisant (60), on trouve enfin

(71)
$$H_{1}^{c} \equiv \frac{1}{2} \left[\left(H^{\star} \frac{\partial B}{\partial t} \right) - \left(B \frac{\partial H^{\star}}{\partial t} \right) + \left(\partial \mathcal{C} \frac{\partial \mathcal{C}}{\partial t} \right) - \left(\partial \frac{\partial \mathcal{C}}{\partial t} \right) \right]$$

$$+ \frac{c}{2} \operatorname{div} \left(\left[H^{\star} \cdot \partial \mathcal{C} \right] - \left[B \cdot \partial \mathcal{C} \right] \right).$$

Retournons maintenant au principe fondamental de l'électromagnétostriction (59), et écrivons-le sous la forme

(72)
$$\mathbf{h}^{(m,e)} = \mathbf{H}^{(e)}_{L} u^{l} + \mathbf{H}^{(e)}_{L} u^{k}$$

ou encore, en vertu de (I, 185),

(73)
$$\mathbf{K}^{(m,e)} = (\mathbf{H}_{i}^{e}) v^{i} + \mathbf{H}_{i}^{e} u^{i} \qquad (i = 1, 2, 3).$$

En remplaçant, en première approximation, u^4 par c^{-4} , et en intégrant à un volume v, on aura

(74)
$$\int_{\rho} \mathbf{K}^{(m,e)} \delta \rho = \frac{1}{c} \int_{\rho} (\mathbf{H}_{\ell}^{(e)} \rho^{\ell} + \mathbf{H}_{\ell}^{(e)}) \delta \rho.$$

On voit aisément que dans le cas de déformations oscillantes du corps considéré, on pourra supposer qu'on a

(75)
$$\mathbf{H}_{i}^{e_{i}}v^{i} + \frac{c}{2}\operatorname{div}([\mathbf{H}^{\star}.\mathcal{H}] - [\mathbf{B}.\mathcal{B}]) = \mathbf{0}$$
 $(i = 1, 2, 3).$

Nous pourrons écrire, en vertu de (71),

(76)
$$\int_{\mathbb{R}} \mathbf{h}^{(m,e)} \delta \nu = \frac{1}{2c} \int_{\mathbb{R}} \left[\left(\mathbf{H}^{\star} \frac{\partial \mathbf{B}}{\partial t} \right) - \left(\mathbf{B} \frac{\partial \mathbf{H}}{\partial t} \right) + \left(\mathcal{H} \frac{\partial \mathcal{B}}{\partial t} \right) - \left(\mathcal{B} \frac{\partial \mathcal{H}}{\partial t} \right) \right] \delta \nu.$$

.

Rappelons que (I, 185)

(77)
$$u^{\alpha} = \frac{dx_{\alpha}}{ds} = \frac{dx_{\alpha}}{dt}u^{4} = v^{\alpha}u^{4}$$
 où $v^{4} = 1$ et $u^{4} \sim \frac{1}{c}$.

Posons ensuite

où λ, représente le déplacement infiniment petit à partir du point initial x_i^0 (i = 1, 2, 3); pour t = 0, on a $x_i = x_i^0$.

Il en résulte que

(79)
$$v^i = \frac{\partial \lambda_i}{\partial t}.$$

Posons $\frac{d\lambda_i}{dt} \equiv \dot{\lambda}_i$; d'où $v^i \equiv \dot{\lambda}_i$ (i = 1, 2, 3).

Adoptons aussi les notations classsiques

(86)
$$\begin{cases} x_x = \frac{\partial \lambda_1}{\partial x^0}; & y_1 = \frac{\partial \lambda_2}{\partial y^0}; \\ x_2 = y_1 = \frac{\partial \lambda_1}{\partial y^0} + \frac{\partial \lambda_2}{\partial x^0}; \\ x_3 = z_1 = \frac{\partial \lambda_1}{\partial z^0} + \frac{\partial \lambda_3}{\partial x^0}; \\ y_2 = z_3 = \frac{\partial \lambda_1}{\partial z^0} + \frac{\partial \lambda_3}{\partial y^0}, \end{cases}$$

et

(80')
$$\omega^{1} = \omega_{x} = \frac{\partial \lambda_{3}}{\partial y^{0}} - \frac{\partial \lambda_{2}}{\partial z^{0}};$$

$$\omega^{2} = \omega_{y} = \frac{\partial \lambda_{1}}{\partial z^{0}} - \frac{\partial \lambda_{3}}{\partial x^{0}};$$

$$\omega^{3} = \omega_{z} = \frac{\partial \lambda_{z}}{\partial x^{0}} - \frac{\partial \lambda_{1}}{\partial y^{0}}.$$

Il est bon de se rappeler, qu'à un infiniment petit près, on peut identifier x_i^0 avec $x_i (i = 1, 2, 3)$; nous pouvons done, dans (80) et (80'), remplacer les x_i^0 par les x_i . Il en résulte que les expressions qui figurent dans (56) deviennent

(81)
$$\begin{cases} \frac{\partial v^1}{\partial x_1} = \frac{\partial \dot{\lambda}_1}{\partial x} = \dot{x}_1; & \frac{\partial v^2}{\partial x} = \dot{y}_2; \\ \frac{\partial v^1}{\partial x_2} + \frac{\partial v^2}{\partial x_1} = \dot{x}_2; & \frac{\partial v^1}{\partial x_1} + \frac{\partial v^2}{\partial x_1} = \dot{x}_2; & \frac{\partial v^2}{\partial x_2} + \frac{\partial v^3}{\partial x_2} = \dot{y}_2 \end{cases}$$

et

(81')
$$\dot{\omega}_x = \frac{\partial v^3}{\partial y} - \frac{\partial v^9}{\partial z}; \quad \dot{\omega}_y = \frac{\partial v^1}{\partial z} - \frac{\partial v^2}{\partial x}; \quad \dot{\omega}_z = \frac{\partial v^2}{\partial x} - \frac{\partial v^1}{\partial y},$$

le point au-dessus des x_x, y, \ldots indiquant une dérivée partielle par rapport à t.

La puissance de striction $K^{(m,e)}$ peut donc s'écrire, (56), dans cette même approximation (77),

$$\begin{split} (82) & \ ^{\mathfrak{q}} \mathbf{h}^{(m,e)} \! \equiv \! -\frac{1}{c} \left[T_{1}^{(m,e)} \dot{x}_{v} + T_{2}^{a(m,e)} \dot{j}_{j} + T_{3}^{a(m,e)} \dot{z}_{z} \right. \\ & + \frac{1}{2} \left(T_{1}^{a(m,e)} + T_{2}^{1(m,e)} \right) \dot{x}_{y} + \frac{1}{2} \left(T_{2}^{a(m,e)} + T_{1}^{a(m,e)} \right) \dot{j}_{z} \\ & + \frac{1}{2} \left(T_{3}^{a(m,e)} + T_{1}^{a(m,e)} \right) \dot{z}_{x} - \frac{1}{2} \left(T_{1}^{a(m,e)} - T_{2}^{a(m,e)} \right) \dot{\omega}_{z} \\ & - \frac{1}{2} \left(T_{2}^{a(m,e)} - T_{3}^{a(m,e)} \right) \dot{\omega}_{v} - \frac{1}{2} \left(T_{3}^{a(m,e)} - T_{1}^{a(m,e)} \right) \dot{\omega}_{y} \\ & + T_{1}^{a(m,e)} \dot{x}_{t} + T_{2}^{a(m,e)} \dot{y}_{t} + T_{2}^{a(m,e)} \dot{z}_{t} \right]. \end{split}$$

Retournons au second membre de (76), et admettons qu'on ait

(83)
$$\mathbf{H}_{i} = \sum_{j} \varepsilon'_{ij} \mathbf{B}_{j}; \qquad \mathcal{H}_{i} = \sum_{j} \mu'_{ij} \mathcal{B}_{j}.$$

Posons

$$(84) W \equiv T_4^{(e)}.$$

Donc W représente la densité de l'énergie électromagnétique localisée, définie par (60), et l'on aura pour l'énergie localisée dans le volume ρ

(85)
$$\int_{\nu} \mathbf{W} \, \delta \nu \equiv \frac{1}{2} \int_{\nu} [(\mathbf{H} \cdot \mathbf{B}) + (\partial \mathcal{C}, \partial \mathcal{B})] \, \delta \nu$$
$$= \frac{1}{2} \int_{\nu} \sum_{l} \sum_{l} (\varepsilon'_{lj} \, \mathbf{B}_{l} \, \mathbf{B}_{j} + \mu'_{lj} \, \partial \mathcal{B}_{l} \, \partial_{j}) \, \delta \nu.$$

Le second membre de (76) pourra donc s'écrire

(86)
$$-\frac{\mathrm{I}}{c}\int\left(\frac{\partial\mathrm{W}}{\partial t}\right)_{\mathbf{B},\,\mathcal{O}}^{\mathbf{a}}\,\delta\nu$$

où les indices B, \mathcal{B} servent à rappeler que la dérivée partielle par rapport à t se fait en laissant les B, et les $\mathcal{B}_t(i=1,2,3)$ constants;

on aura donc

(87)
$$-\frac{1}{c} \int \left(\frac{\partial \mathbf{W}}{\partial t}\right)_{\mathbf{B},\,\mathfrak{G}} \delta v = -\frac{1}{2c} \int_{V} \sum_{l} \sum_{l} \left(\frac{\partial \varepsilon_{lJ}^{\prime}}{\partial t} \, \mathbf{B}_{l} \, \mathbf{B}_{J} + \frac{\partial \mu_{lJ}^{\prime}}{\partial t} \, \mathcal{B}_{l} \, \mathcal{B}_{J}\right) \delta v.$$

Supposons que les coefficients ε'_{ij} et μ'_{ij} soient des fonctions des déformations linéaires et angulaires $x_x, ..., z_z$ des rotations ω^i et des vitesses v^i . Autrement dit la densité W de l'énergie électromagnétique dépend explicitement de

(88)
$$\begin{cases} x_{x}, & x_{y}, & z_{z}; & x_{y}, & y_{z}, & z_{x}, \\ \omega_{x}, & \omega_{y}, & \omega_{z}; & x_{t}, & y_{t}, & z_{t}. \end{cases}$$

Le second membre de (76) pourra donc s'écrire

$$(89) \qquad -\frac{1}{c} \int_{v} \left(\frac{\partial \mathbf{W}}{\partial t} \right)_{\mathbf{B}, \mathfrak{G}} \delta v$$

$$\equiv -\frac{1}{c} \int_{v} \left[\left(\frac{\partial \mathbf{W}}{\partial x_{x}} \right)_{\mathbf{B}, \mathfrak{G}} x_{x} + \left(\frac{\partial \mathbf{W}}{\partial y_{y}} \right)_{\mathbf{B}, \mathfrak{G}} \dot{y}_{y} + \left(\frac{\partial \mathbf{W}}{\partial z_{z}} \right)_{\mathbf{B}, \mathfrak{G}} \dot{z}_{z} \right.$$

$$\left. + \left(\frac{\partial \mathbf{W}}{\partial x_{y}} \right)_{\mathbf{B}, \mathfrak{G}} \dot{x}_{y} + \left(\frac{\partial \mathbf{W}}{\partial y_{z}} \right)_{\mathbf{B}, \mathfrak{G}} \dot{y}_{z} + \left(\frac{\partial \mathbf{W}}{\partial z_{x}} \right)_{\mathbf{B}, \mathfrak{G}} \dot{z}_{x} \right.$$

$$\left. + \left(\frac{\partial \mathbf{W}}{\partial \omega_{x}} \right)_{\mathbf{B}, \mathfrak{G}} \dot{\omega}_{x} + \left(\frac{\partial \mathbf{W}}{\partial \omega_{y}} \right)_{\mathbf{B}, \mathfrak{G}} \dot{\omega}_{y} + \left(\frac{\partial \mathbf{W}}{\partial \omega_{z}} \right)_{\mathbf{B}, \mathfrak{G}} \dot{\omega}_{z} \right.$$

$$\left. + \left(\frac{\partial \mathbf{W}}{\partial x_{t}} \right)_{\mathbf{B}, \mathfrak{G}} \dot{x}_{t} + \left(\frac{\partial \mathbf{W}}{\partial y_{t}} \right)_{\mathbf{B}, \mathfrak{G}} \dot{y}_{y} + \left(\frac{\partial \mathbf{W}}{\partial z_{t}} \right)_{\mathbf{B}, \mathfrak{G}} \dot{z}_{t} \right] \delta v.$$

Cette quantité représente la valeur de la puissance de l'hystérèse électromagnétique.

Le principe fondamental (76) de l'électrostriction fournit alors immédiatement, par identification de (82) et (89), le tenseur de l'électrostriction (1)

(90)
$$\begin{cases} T_{1}^{(m,e)} = \left(\frac{\partial \mathbf{W}}{\partial x_{v}}\right)_{\mathbf{B}, \mathfrak{G},} \\ T_{2}^{2}^{(m,e)} = \left(\frac{\partial \mathbf{W}}{\partial y_{y}}\right)_{\mathbf{B}, \mathfrak{G},} \\ T_{3}^{3(m,e)} = \left(\frac{\partial \mathbf{W}}{\partial z_{z}}\right)_{\mathbf{B}, \mathfrak{G}} \end{cases}$$

SC., 5° série

SE°VICE DE

MATHÉMANQUES

PURES

PURES

⁽¹⁾ Th. DE DONDER, L'électrostriction déduite de la Gravifique einsteinienne (seconde communication) (Bull de l'Ac. Roy. de Belg., Cl. des Sc., 5° série 121 avril 1928, p. 206-210).

et

$$\begin{cases}
\frac{1}{2}(T_{3}^{1,m,e} + T_{2}^{1,m,e}) = \left(\frac{\partial W}{\partial x_{y}}\right)_{B,\mathfrak{G}}, \\
\frac{1}{2}(T_{3}^{1,m,e} + T_{3}^{2,m,e}) = \left(\frac{\partial W}{\partial y_{z}}\right)_{B,\mathfrak{G}}, \\
\frac{1}{2}(T_{3}^{1,m,e} + T_{3}^{1,m,e}) = \left(\frac{\partial W}{\partial z_{x}}\right)_{B,\mathfrak{G}}, \\
\frac{1}{2}(T_{3}^{1,m,e} - T_{3}^{1,m,e}) = -\left(\frac{\partial W}{\partial \omega_{z}}\right)_{B,\mathfrak{G}}, \\
\frac{1}{2}(T_{3}^{3,m,e} - T_{3}^{2,m,e}) = -\left(\frac{\partial W}{\partial \omega_{x}}\right)_{B,\mathfrak{G}}, \\
\frac{1}{2}(T_{3}^{3,m,e} - T_{3}^{3,m,e}) = -\left(\frac{\partial W}{\partial \omega_{y}}\right)_{B,\mathfrak{G}}, \\
T_{3}^{1,m,e} = \left(\frac{\partial W}{\partial x_{t}}\right)_{B,\mathfrak{G}}, \\
T_{3}^{1,m,e} = \left(\frac{\partial W}{\partial x_{t}}\right)_{B,\mathfrak{G}}, \\
T_{3}^{1,m,e} = \left(\frac{\partial W}{\partial x_{t}}\right)_{B,\mathfrak{G}},
\end{cases}$$
(93)

Dans ces tableaux, ne sigurent pas encore

(94)
$$T_{4}^{1/m,e}, T_{4}^{n,e}, T_{4}^{3/m,e}, T_{4}^{3(m,e)}$$

Cependant, remarquons que l'on a d'une façon générale,

(95)
$$T_{(m,e)}^{\alpha\beta} \equiv T_{(m,e)}^{\beta\alpha} = \sum_{\alpha} e^{-\beta} T_{\gamma}^{\alpha(m,e)} \equiv \sum_{\gamma} e^{\gamma\alpha} T_{\gamma}^{\beta(m,e)}$$

Dans un champ de Minkowski, ces relations deviennent

Dans un champ de Minkowski, ces relations deviennent
$$T_{(m,e)}^{ab} \equiv T_{(m,e)}^{ba} \equiv -T_{b}^{a(m,e)} = -T_{a}^{b(m,e)} \qquad (a.\ b=1,2,3),$$

$$T_{(m,e)}^{ab} \equiv T_{m,e}^{ba} = \frac{1}{c^{2}}T_{4}^{a(m,e)} = -T_{a}^{b(m,e)},$$

$$T_{(m,e)}^{ba} \equiv \frac{1}{c^{2}}T_{4}^{a(m,e)}.$$

Il résulte de (96) qu'ici les $T_a^{b \ m,e}$ sont symétriques (a, b = 1, 2, 3); donc, en vertu de (92), la fonction W ne renfermera pas ω_x , ω_y , ω_z explicitement. Il résulte de (96), que les $T_4^{a(m,e)}$ ne diffèrent de $T_a^{v(m,e)}$ fournis par (93), que par le facteur ($-c^2$).

Dans un champ de Minhowski, nous avons donc calculé toutes

les composantes du tenseur $T_{\alpha}^{\beta(m,e)}$ ($\alpha, \beta = 1, \ldots, 4$), sauf $T_{\alpha}^{\beta(m,e)}$; on sait que $T_{\alpha}^{\beta(m,e)}$ a les dimensions de l'énergie par unité de volume; il y aura donc lieu de l'égaler à la densité de l'énergic élastique (de déformation). On pourrait aussi reprendre toutes ces théories dans l'espace temps, grâce aux corps parfaits définis en (II, 328).

9. Tensions de radiation. — Envisageons avec Léon Brillouin (†) le cas d'une onde électromagnétique se propageant suivant l'axe des x; soient H, (ou H,*) le champ électrique, \mathcal{SC}_{+} le champ magnétique. On aura, en vertu de (84), et de la définition d'une onde électromagnétique (2)

$$\mathbf{W} = \mathbf{B}.\mathbf{H} = \boldsymbol{\omega}.\boldsymbol{\mathcal{H}}.$$

La vitesse de l'onde sera donc

$$\mathbf{V} = \frac{c}{\sqrt{-\mu}},$$

où s et'u sont respectivement le pouvoir inducteur spécifique et la perméabilité magnétique du système considéré. On pourra donc écrire

$$B = z II$$
 et $\mathcal{B} = \mu \mathcal{H}$.

D'autre part, on a, pour la matière,

(99)
$$\frac{\partial \log D}{\partial t} = -\frac{\partial}{\partial t}(x_r + y_r + z_z),$$

où D représente la densité massique; d'où, pour un corps isotrope, on aura, en vertu de (90),

$$(100) \qquad T_{1}^{[m,e)} = T_{2}^{2[m,e]} = T_{3}^{[m,e]} = \left(\frac{\partial W}{\partial x_{x}}\right)_{B,c} = \left(\frac{\partial W}{\partial y_{y}}\right)_{B,c} = \left(\frac{\partial W}{\partial z_{z}}\right)_{B,c}$$

$$= \left(\frac{\partial W}{\partial (x_{x} + y_{y} + z_{z})}\right)_{B,c} = -\left(\frac{\partial W}{\partial \log D}\right)_{B,c}$$

⁽¹⁾ Léon Brillouin, Les tensions de radiation; leur interprétation en mécanique classique et en relativité (Journ. de Phys., 6° série, t. VI, n° 11, p. 337 353).

^(*) Ici l'énergie électrique est égale à l'énergie magnétique, ou $\frac{1}{2}$ BII = $\frac{1}{2}$ $\infty \kappa$

En vertu de (97) et (98), on obtient aisément

$$= - W \left(\frac{\partial \log \mathbf{V}}{\partial \log \mathbf{D}} \right)_{\mathbf{B}, \mathfrak{G}}.$$

En formant, grâce à (60) et (90) à (93), le tenseur, à la fois, électromagnétique et de striction,

$$\left\| T_{\alpha}^{\beta(e)} + T_{\alpha}^{\beta(m,e)} \right\|$$

et, en passant de là, grâce aux formules (96) et (101), au tenseur deux fois contravariant,

(103)
$$|| T\alpha\beta(c) + T\alpha\beta(mc) ||$$

on obtient (1) ensin, en se reportant à (60) et aux hypothèses énoncées au début du présent paragraphe, le tenseur de L. Brillouin complété:

ADDENDA.

La théorie générale qui vient d'être exposée au paragraphe 8, et qui nous a fourni le tenseur $T_{\alpha}^{\beta(m,e)}$ d'électromagnetostriction, peut être remplacée par une théorie entièrement relativiste, c'est-à-dire conservant la forme invariantive dans l'espace temps; cette théorie est basée sur la Thermodynamique relativiste développée plus loin, au Chapitre II de ce fascicule. Pour plus de détails on se reportera à la note intitulée Théorie relativiste de l'électromagnétostriction, par Mile Y. Dupont et Th. De Donder (Bull. Ac. R. Belgique, Cl. des Sciences, séance du 2 août 1932).

⁽¹⁾ Ce passage de la théorie générale de Th. De Donder à celle de L. Brillouin a été effectué par Jean Pelseneer (Bull. Ac. Roy. Belg., Cl. des Sc., 5° série, t. XIV, le 7 juillet 1928).

10. Application au champ de Minkowski. Formule de Helmholtz-Lippmann. — Reprenons le théorème de l'impulsion et de l'énergie, (21),

(105)
$$F_{\alpha} \equiv N_{\alpha} + P_{\alpha} + F_{\alpha}^{(e)} = 0,$$

dans le cas du champ de Minkowski.

Nous avons alors, (22) et (23),

(106)
$$N_{\alpha} = N \Lambda_{\alpha} + u_{\alpha} \sum_{\beta} \frac{\partial (Nu\beta)}{\partial x_{\beta}},$$

(107)
$$P_{\alpha} = \sum_{\beta} \frac{\partial P_{\alpha}^{\beta}}{\partial x_{\beta}},$$

où l'on a posé, (16),

(108)
$$P_{\alpha}^{\beta} \equiv T_{\alpha}^{\beta(m)} + T_{\alpha}^{\beta(m,e)}.$$

Il en résulte

(109)
$$P_{\alpha} = \sum_{\alpha} \left(\frac{\partial T_{\alpha}^{\beta(m)}}{\partial x_{\beta}} + \frac{\partial T_{\alpha}^{\beta(m,e)}}{\partial x_{\beta}} \right).$$

Considérons le cas de corps massiques parfaits isotropes et au repos, et supposons négligeables les variations de la densité massique dans le temps, ainsi que les tensions de Maxwell. Il résulte alors des dernières hypothèses, en vertu de (22) et de (24), que

(110)
$$N_{\alpha} = 0, \quad F_{\alpha}^{(c)} = 0.$$

Le fluide massique étant supposé parfait, nous poserons, en vertu de (II, 66),

(III)
$$T_{\alpha}^{\beta(m)} = -\delta_{\alpha}^{\beta} p,$$

où δ_{α}^{β} vaut un ou zéro suivant que α est égal à β , ou différent de β . D'autre part, reportons-nous aux valeurs (100) que nous avons trouvées pour le tenseur de l'électrostriction dans le cas de corps isotropes. En introduisant dans P_{α} les valeurs de $T_{\alpha}^{\beta(m)}$ et $T_{\alpha}^{\beta(m),e)}$ on trouve immédiatement, en coordonnées rectangulaires,

$$(112) \qquad -\frac{\partial p}{\partial x} - \frac{\partial}{\partial x} \left[\left(\frac{\partial W}{\partial \log D} \right)_{B, \mathcal{B}} \right] = 0$$

et deux analogues par rapport aux axes y et z.

La grandeur W qui figure dans ces formules est égale à la somme des densités des énergies électrique et magnétique; à savoir, (85),

$$(113) W = W_c + W_{\mu},$$

où l'on a

(114)
$$W_e = \frac{1}{2} B.H \quad \text{et} \quad W_{\mu} = \frac{1}{2} \mathcal{B}.\mathcal{H},$$

avec

(115)
$$B = \varepsilon H, \quad \mathcal{B} = \mu \mathcal{H},$$

s et μ étant respectivement la constante diélectrique et la perméabilité magnétique. Les formules ci-dessus peuvent alors s'écrire

(116)
$$\frac{\partial}{\partial x} \left[W_c \frac{\partial \log \varepsilon}{\partial \log D} + W_{\mu} \frac{\partial \log \mu}{\partial \log D} - p \right] = 0, \quad ..., \quad$$

En intégrant, on obtient

(117)
$$W_e \frac{\partial \log \varepsilon}{\partial \log D} + W_{\mu} \frac{\partial \log \mu}{\partial \log D} - p = -p_0.$$

où p_0 représente la valeur du premier membre en un point où l'électromagnétostriction est nulle.

Soit f(D) l'expression de la pression en fonction de la densité. En développant en série de Taylor, on a approximativement

(118)
$$p - p_0 = \left[\frac{\partial f(\mathbf{D})}{\partial \mathbf{D}}\right]_0 (\mathbf{D} - \mathbf{D}_0).$$

En comparant les équations (117) et (118), on obtient la formule de Helmholtz-Lippmann

(119)
$$\overline{\left(\frac{\partial f(\mathbf{D})}{\partial \mathbf{D}}\right)_{0}(\mathbf{D} - \mathbf{D}_{0})} = \mathbf{W}_{c} \frac{\partial \log^{2} \mathbf{D}}{\partial \log \mathbf{D}} + \mathbf{W}_{\mu} \frac{\partial \log \mu}{\partial \log \mathbf{D}}$$

11. Système électromagnétique au repos. — Nous avons montré au paragraphe 3 comment, grâce au tableau (26), on pouvait écrire les équations (27) et (28) sous forme maxwellienne. Retournons aux tenseurs antisymétriques $\mathfrak{P}_{(1)}^{\alpha\beta}$ et $\mathfrak{T}_{(2)}^{\alpha\beta}$ que nous avons introduits en (7) et (8). Ces tenseurs ont été appelés (II, p. 50) forces de polarisation électrique et magnétique et ils ont été définis par les expres-

sions:

(120)
$$\mathcal{Z}_{(c)}^{\alpha\beta} = \mathcal{Z}_{(e)}^{\alpha} u^{\beta} - \mathcal{Z}_{(e)}^{\beta} u^{\alpha}$$

et

(121)
$$\mathcal{Z}_{(\mathrm{L})}^{\alpha\beta} = \mathcal{Z}_{(\mathrm{L})}^{\alpha} u^{\beta} - \mathcal{Z}_{(\mathrm{L})}^{\beta} u^{\alpha},$$

où $\mathcal{Z}^{\alpha}_{(\epsilon)}$ et $\mathcal{Z}^{\alpha}_{(\mu)}$ sont respectivement les quatre composantes des intensités de polarisation électrique et magnétique.

En chaque point où se trouve de la masse, nous aurons, puisque le système est supposé au repos,

$$(122) u^1 = u^9 = u^3 = 0$$

et

$$(123) u^4 = (g_{44})^{-\frac{1}{6}}.$$

Il résulte de ceci que

$$P_{(e)}^{ij} = 0,$$

(125)
$$P_{(e)}^{ii} = P_{(e)}^{i} u^{i},$$

et de même

$$P_{(\mu)}^{ij} = 0,$$

(127)
$$P_{(\mu)}^{ii} = P_{(\mu)}^{i} u^{i}.$$

En identifiant les formules (7) et (8) avec les formules classiques

$$(128) B = H + P,$$

$$\mathfrak{G}=\mathfrak{H}+\mathfrak{T},$$

on doit poser

(130)
$$\begin{cases} \mathcal{H}^{ij} = \mathcal{K}^{ij}, \\ \mathcal{H}^{ij} = \mathcal{K}^{ij}, \end{cases}$$

eŧ

(131)
$$\begin{cases} \mathcal{B}^{14} = -H_x, & \mathcal{B}^{14} = \mathcal{B}_x, \\ \mathcal{B}^{24} = -H_1, & \mathcal{B}^{24} = \mathcal{B}_1, \\ \mathcal{B}^{34} = -H_1, & \mathcal{B}^{34} = \mathcal{B}_z, \end{cases}$$

et, en outre, pour les composantes des polarisations électriques et

magnétiques P et &,

(132)
$$\begin{cases} P_{x} = \mathcal{R}_{[c]}^{1} u^{i}, & \mathcal{R}_{x} = \mathcal{R}_{(\mu)}^{1} u^{i}, \\ P_{y} = \mathcal{R}_{(c)}^{y} u^{i}, & \mathcal{R}_{y} = \mathcal{R}_{(\mu)}^{2} u^{i}, \\ P_{z} = \mathcal{R}_{(c)}^{3} u^{i}, & \mathcal{R}_{z} = \mathcal{R}_{(\mu)}^{3} u^{i}, \end{cases}$$

En résumé, on a donc le système d'équations maxwelliennes suivant [(31), (32), (7) et (8)]

(133)
$$\operatorname{div} \mathbf{B} = \sigma_{(e)} \ u^4 + \mathcal{L}_{e}^4, \quad \operatorname{rot} \mathcal{H} = \frac{1}{c} \left(-\frac{\partial \mathbf{B}}{\partial t} + \sigma_{(e)} \ u + \mathcal{L}_{(e)} \right),$$

(131)
$$-\operatorname{div} \mathfrak{B} = \overset{\cdot}{\sigma_{(\mu)}} u^4 + \mathcal{L}^4_{(\mu)}, \quad \text{rot } H = \frac{1}{c} \left(-\frac{\partial \mathfrak{B}}{\partial t} + \sigma_{(\mu)} u + \mathcal{L}_{(\mu)} \right),$$

οù

(135)
$$\begin{cases} B = H + P, \\ B = \mathcal{U} + \mathcal{Z}. \end{cases}$$

Extension. - Les conditions (130) expriment que

(136)
$$\mathcal{L}_{(e)}^{ij} = \mathcal{L}_{(\mu)}^{ij} = 0 \quad (i, j = 1, 2, 3).$$

Si celles-ci sont remplies, on pourra, pour un système en mouvement dans un champ gravifique quelconque, conserver les interprétations (131) et (133 à 135) où

$$\textbf{(137)} \quad \textbf{P} \left\{ \begin{array}{l} \textbf{P}_x \equiv \mathcal{Z}^1_{(e)} \, u^4 - \mathcal{Z}^1_{(e)} \, u^1, \\ \dots \dots \dots \dots, \\ \dots \dots \dots, \end{array} \right. \quad \mathcal{R} \left\{ \begin{array}{l} \mathcal{Z}_x \equiv \mathcal{Z}^1_{(\mu)} \, u^4 - \mathcal{Z}^4_{(\mu)} \, u^1, \\ \dots \dots \dots \dots, \\ \dots \dots \dots \dots, \end{array} \right.$$

Rappelons que dans les systèmes considérés ici, les forces électriques et magnétiques appliquées (eingepragt) sont supposées nulles.

CHAPITRE II.

APPLICATION A LA THERMODYNAMIQUE.

12. Premier principe de la Thermodynamique relativiste. — En se reportant aux équations (52) à (58') on peut écrire le premier

principe sous la forme (1)

(138)
$$\frac{d}{ds}[\mathfrak{U}\delta(x_1...x_s)] = \mathfrak{D}\delta(x_1...x_s) - \mathfrak{K}\delta(x_1...x_s),$$

ou encore sous la forme équivalente

(139)
$$\sum_{\alpha} \frac{\partial (\mathfrak{A} u^{\alpha})}{\partial x_{\alpha}} = \mathfrak{D} - \mathfrak{K}.$$

Utilisons les coordonnées rectangulaires dextrogyres. La relation (139) s'écrira:

(140)
$$\sum_{\alpha} \frac{\partial (\mathfrak{U} V^{-1} v^{\alpha})}{\partial x_{\alpha}} = \mathfrak{L} - \mathfrak{K},$$

οù

(141)
$$v^{\alpha} \equiv \frac{d\dot{x}^{\alpha}}{dt} \quad \text{et} \quad V \equiv \frac{ds}{dt}.$$

Multiplions les deux membres de (140) par de défini par (48), d'où, en vertu de la théorie des invariants intégraux,

(142)
$$\frac{d}{dt} \int_{\nu} \mathfrak{U} V^{-1} \, \delta \nu = \int_{\nu} \mathfrak{L} \delta \nu - \int_{\nu} \mathfrak{K} \delta \nu.$$

Posons

$$(143) \qquad \overline{V^{-1}} \int \mathfrak{U} \, \delta v \equiv \int \mathfrak{U} \, V^{-1} \, \delta v,$$

où $\overline{V^{-1}}$ représente la moyenne de V^{-1} prise dans tout le système considéré, ainsi que

$$\mathrm{U}\equiv\frac{\mathrm{I}}{c}\int_{\mathrm{u}}\mathrm{u}\,\delta v,$$

(145)
$$\frac{dQ}{dt} \equiv \int_{\nu} \frac{V}{c} \, 2 \, \delta \nu \qquad \text{ou} \qquad \frac{\overline{V}}{c} \int_{\nu} 2 \, \delta \nu,$$

Nous donnons ci-dessous les dimensions respectives des grandeurs utilisées, à savoir :

$$\mathfrak{L} \delta x \delta y \delta z \delta t \equiv$$
 énergie
 $\mathfrak{K} \delta x \delta y \delta z \delta t \equiv$ énergie
 $\mathfrak{L} \delta x \delta y \delta z \delta t \equiv$ énergie \times longueur

⁽¹⁾ Th. DE DONDER, Comptes rendus, Ac. des Sc., Paris, t. 186, p. 1599-1601, et t. 187, p. 28-30.

en représentant par $\overline{\mathbf{V}}$ la moyenne de \mathbf{V} prise dans le système considéré.

Alors l'équation (142) s'écrira

(146)
$$\frac{d}{dt} \left[c \overline{V}^{-1} U \right] = \frac{dQ}{dt} \frac{c}{\overline{V}} - \int_{U} \mathcal{K} \delta v.$$

Nous dirons que U est l'énergie intense du corps à l'instant t et que dQ est la chaleur reçue par ce corps pendant dt.

Étudions maintenant le terme $\int_{\mathbf{L}} \mathcal{K} dv$ qui figure dans (146), en nous

limitant au cas du *fluide parfait* de pression (positive) p. En nous reportant à (58') ainsi qu'à (II, 66), nous aurons:

(147)
$$\mathcal{K} \sim -\sum_{\alpha} \mathcal{E}_{\alpha}^{\alpha} \frac{\partial u^{\alpha}}{\partial x_{\alpha}} \quad \text{ou} \quad + cp \sum_{\alpha} \frac{\partial u^{\alpha}}{\partial x_{\alpha}},$$

en négligeant les dérivées des gaß par rapport à s.

Substituons (147) dans (146); d'où

(148)
$$\frac{d}{dt} \left[c \overline{V^{-1}} U \right] = \frac{dQ}{dt} \frac{c}{\overline{V}} - c \overline{p} \int_{v} \sum_{\alpha} \frac{\partial u^{\alpha}}{\partial x_{\alpha}} \delta v$$

où \overline{p} est la valeur moyenne de p dans le volume v à l'instant t considéré.

En intégrant

(149)
$$\int_{v} \sum_{t=1}^{3} \frac{\partial u^{t}}{\partial x_{t}} \delta v \quad \text{ou} \quad \int_{v} \sum_{t=1}^{3} \frac{\partial (V^{-1} v^{t})}{\partial x_{t}} \delta v,$$

on aura, pour (148),

(150)
$$\frac{d}{dt} \left[c \overline{V^{-1}} \mathbf{U} \right] = \frac{dQ}{dt} \frac{c}{\overline{V}} - \overline{p}_{c} \overline{V^{-1}} \oint_{C} v_{\mathbf{v}} \delta \sigma + c p \frac{\partial u^{*}}{\partial t} dv,$$

où v_v représente la composante suivant la demi normale v extérieure au corps en un point de l'élément $\partial \sigma$ pris sur la surface fermée σ limitant ce corps.

Or, on a

Donc (150) fournit, en première approximation, le premier prin-

cipe de la thermodynamique classique:

$$(152) dU = dQ - \overline{p} dv.$$

13. Deuxième principe de la Thermodynamique. — En relativité générale, nous écrirons ce second principe comme suit :

(153)
$$\frac{d}{ds} \left[\mathcal{S}\delta(x^1 \dots x^4) \right] = \frac{2 + 2^*}{1^*} \delta(x_1 \dots x^4),$$

où \mathcal{S} est le facteur de densité entropique; où \mathcal{Z}^* est le facteur (positif) d'apport de chaleur non compensée (ou de viscosité physico-chimique); où ensin, T^* est le scalaire (positif) thermique.

De (153), on déduit que (1)

(154)
$$\sum_{\alpha} \frac{\partial (\mathcal{S} u^{\alpha})}{\partial x^{\alpha}} = \frac{\mathcal{Q} + \mathcal{Q}^{*}}{\mathsf{T}^{*}}.$$

Retournons à l'image euclidienne; on aura, comme au (142),

(155)
$$\frac{d}{dt} \int_{v} SV^{-1} \, \delta v = \frac{1}{\overline{T}^{\star}} \int_{v} (2 + 2^{\star}) \delta v,$$

où $\overline{\mathbf{T}}^*$ est la moyenne de \mathbf{T}^* dans le système considéré. Posons maintenant

$$S \equiv \int_{\mathcal{A}} \mathcal{S} V^{-1} \delta_{\ell},$$

et, comme au (145).

(157)
$$\frac{dQ^{\star}}{dt} \equiv \frac{\overline{V}}{c} \int_{a} \mathfrak{Q}^{\star} \, \delta \nu.$$

Alors l'équation (155) deviendra

(158)
$$dS = \frac{c}{\overline{T}^* \overline{V}} (dQ + dQ^*),$$

Posons

$$T \equiv T^{\star} \frac{\overline{V}}{c},$$

⁽¹⁾ Dans le cas où le système est isolé (2 = 0), on retrouve ainsi l'équation de Tolman (*Proc. Nat. Ac. Washington*, t. 14, 1928, p. 368 à 372).

d'où l'équation différentielle exprimant le second principe de la thermodynamique classique

$$dS = \frac{dQ + dQ^*}{T}.$$

14. Thermodynamique des systèmes électromagnétiques doués d'hystérèse et animés d'un mouvement quelconque. — Utilisons le premier principe de la Thermodynamique en substituant (58') dans (138) et en tenant compte de (59); d'où

(161)
$$\begin{split} \frac{d}{ds} \left[\mathfrak{A} \, \delta(x^1 \dots x^k) \right] &= 2 \, \delta(x^1 \dots x^k) \\ &- \left[\mathcal{K}^{(m)} + \mathcal{K}^{(e)}_{\alpha} \, u^{\alpha} + \mathcal{K}^{(e)} \right] \delta(x^1 \dots x^k). \end{split}$$

Utilisons maintenant le second principe de la Thermodynamique en substituant (161) dans (153), d'où

(162)
$$\frac{d}{ds} \left[\mathfrak{U} \, \delta(x^1 \dots x^4) \right] - \left. \operatorname{T}^{\star} \frac{d}{ds} \left[\mathfrak{S} \, \delta(x^1 \dots x^4) \right] \right.$$

$$= - \left[\mathfrak{K}^{(m)} + \mathfrak{R}^{(e)}_{\alpha} \, u^{\alpha} + \mathfrak{K}^{(e)} \, | \, \delta(x^1 \dots x^4) - \mathfrak{L}^{\star} \, \delta(x^1 \dots x^4) \right]$$

On pourra faire apparaître, dans cette relation, la fonction U — T*S qui généraliserait l'énergie libre.

CHAPITRE III.

LA RELATIVITÉ RESTREINTE.

15. La transformation de Voigt-Lorentz. — Nous avons montré (I, 58) comment on pouvait obtenir la transformation de Voigt-Lorentz qui se trouve à la base de la Relativité restreinte, à savoir

(163)
$$x = \beta(x' + vt'), \quad y = y', \quad z = z', \quad t = \beta\left(t' + \frac{v}{c^2}x'\right),$$

où nous avons posé

$$\beta = \frac{1}{\sqrt{1 - \frac{\rho^2}{c^2}}}.$$

MÉMORIAL DES SC. MATH. - Nº 58.

On sait que cette transformation laisse invariante la forme quadratique de Minkowski

$$\delta s^2 \equiv -\delta x^9 - \delta y^2 - \delta z^9 + c^9 \delta t^2,$$

autrement dit, on aura

(166)
$$\delta s' \equiv \delta s'' \equiv -\delta x'' - \delta y'' - \delta z'' + c^2 \delta t'^2.$$

Rappelons que le jacobien de ces transformations vaut 1; on aura donc

(167)
$$\frac{\partial(x)}{\partial(x')} = \frac{\partial(x')}{\partial(x)} = 1.$$

Il en résulte qu'ici il n'y aura pas de différence entre un multiplicateur et un invariant, ou entre les composantes tensorielles d'un tenseur (lettres rondes) et les composantes ordinaires.

16. Variance d'un élément de volume. — Considérons avec le spectateur S, à l'instant t, un élément de volume

$$\delta v = \delta x \, \delta \gamma \, \delta z$$

avec

$$\delta t = 0.$$

En vertu de (163), on aura

(169)
$$\delta x' = \beta \delta x, \quad \delta y' = \delta y, \quad \delta z' = \delta z,$$

ce qui donne, pour l'élément de volume, exprimé en variable de S'

$$\delta v \equiv \beta^{-1} \delta x' \delta y' \delta z'.$$

Posons, avec S',

$$\delta v' \equiv \delta x' \, \delta y' \, \delta z';$$

d'où

$$\delta \nu = \beta^{-1} \, \delta \nu'.$$

On a ici $\delta t' = -\frac{\beta v}{c^2} \delta x$, ce qui est, en général, différent de zéro.

Mais si les points (x', y', z') et $(x' + \delta x', y' + \delta y', z' + \delta z')$ considérés sont *au repos* par rapport à S', cela permet de considérer $\delta v'$ comme le volume *géométrique* étudié par S' (à l'instant t) et correspondant à celui étudié par S (à l'instant t).

17. Covariances et contravariances. — Nous allons montrer, dans ce paragraphe, comment se transforment successivement les composantes d'un vecteur quadridimensionnel, d'un tenseur deux fois covariant ou contravariant et enfin d'un tenseur mixte, lorsqu'on applique la transformation de Lorentz (163).

Composantes contravariantes d'un vecteur et ses transformées:

(172)
$$\begin{cases} A^{1} = \beta (A'^{1} + \nu A'^{4}), \\ A^{2} = A'^{2}, \\ A^{3} = A'^{3}, \\ A^{4} = \beta \left(A'^{4} + \frac{\nu}{c^{2}}A'^{4}\right). \end{cases}$$

Composantes covariantes d'un vecteur et ses transformées :

(173)
$$\begin{cases} A_{1} = \beta \left(A'_{1} - \frac{\nu}{c^{3}} A'_{4} \right), \\ A_{2} = A'^{2}, \\ A_{3} = A'^{3}, \\ A_{4} = \beta \left(A'_{4} - \nu A'_{1} \right). \end{cases}$$

Composantes d'un tenseur antisymétrique doublement covariant $B_{\alpha\beta} = -B_{\beta\alpha}$, et ses transformées :

(174)
$$B_{12} = \beta \left(B'_{12} + \frac{\nu}{c^2} B'_{24} \right),$$

$$B_{13} = \beta \left(B'_{13} + \frac{\nu}{c^2} B'_{34} \right),$$

$$B_{14} = B'_{14},$$

$$B_{23} = B'_{23},$$

$$B_{24} = \beta (B'_{24} - \nu B'_{21}),$$

$$B_{34} = \beta (B'_{34} - \nu B'_{34}).$$

Composantes d'un tenseur antisymétrique doublement contravariant $B^{\alpha\beta} \equiv -B^{\beta\alpha}$, et ses transformées :

(175)
$$\begin{cases}
B^{1'} = \beta(B'^{1\circ} + \nu B'^{4\circ}), \\
B^{13} = \beta(B'^{13} + \nu B'^{43}), \\
B^{14} = B'^{14}, \\
B^{\circ 3} = B'^{\circ 3}, \\
B^{\circ 4} = \beta\left(B'^{24} + \frac{\nu}{c^2}B'^{21}\right), \\
B^{34} = \beta\left(B'^{34} + \frac{\nu}{c^2}B'^{31}\right).
\end{cases}$$

Composantes d'un tenseur mixte :

$$T_{1}^{1} = \beta^{2} \left(T_{1}^{\prime 1} - \frac{v^{2}}{c^{2}} T_{1}^{\prime 4} - 2 \frac{v}{c^{2}} T_{1}^{\prime 4} \right),$$

$$T_{2}^{2} = T_{2}^{\prime 2},$$

$$T_{3}^{3} = T_{3}^{\prime 3},$$

$$T_{4}^{4} = \beta^{2} \left(-\frac{v^{2}}{c^{2}} T_{1}^{\prime 1} + T_{1}^{\prime 4} + 2 \frac{v}{c^{2}} T_{1}^{\prime 4} \right),$$

$$T_{4}^{2} = T_{2}^{1} = \beta \left(T_{1}^{\prime 2} - \frac{v}{c^{2}} T_{1}^{\prime 4} \right),$$

$$T_{1}^{3} = T_{3}^{1} = \beta \left(T_{1}^{\prime 3} - \frac{v}{c^{2}} T_{1}^{\prime 4} \right),$$

$$T_{2}^{3} = T_{3}^{2} = T_{2}^{\prime 3},$$

$$T_{1}^{3} = T_{2}^{2} = T_{2}^{\prime 3},$$

$$T_{1}^{4} = -\frac{1}{c^{2}} T_{1}^{\prime} = \beta^{2} \left[T_{1}^{\prime 1} \left(1 + \frac{v^{2}}{c^{2}} \right) - \frac{v}{c^{2}} \left(T_{1}^{\prime 4} - T_{1}^{\prime 1} \right) \right],$$

$$T_{2}^{4} = -\frac{1}{c^{2}} T_{2}^{2} = \beta \left[T_{2}^{\prime 4} + \frac{v}{c^{2}} T_{2}^{\prime 4} \right],$$

$$T_{3}^{4} = -\frac{1}{c^{2}} T_{3}^{3} = \beta \left[T_{3}^{\prime 4} + \frac{v}{c^{2}} T_{3}^{\prime 4} \right].$$

18. Variances de la force électrique, de la force magnétique, et de la densité électrique. — Appliquons le tableau (175) aux tenseurs \mathcal{H}^{14} , $\mathcal{H}^{\prime 24}$, $\mathcal{H}^{\prime 34}$ et $\mathcal{H}^{\prime 14}$, $\mathcal{H}^{\prime 24}$, $\mathcal{H}^{\prime 34}$ et $\mathcal{H}^{\prime 14}$, $\mathcal{H}^{\prime 24}$, $\mathcal{H}^{\prime 34}$ et $\mathcal{H}^{\prime 34}$, et tenons compte de (130) et des notations (131) et (26); nous trouvons les covariances :

$$(177) \begin{cases} H_x = H'_x, & \text{if } c = \text{if}'_x, \\ H_y = \beta \left(H'_y + \frac{\rho}{c} \text{if}'_z\right), & \text{if } c = \beta \left(\text{if}'_y - \frac{\rho}{c} H'_z\right), \\ H_z = \beta \left(H'_z - \frac{\rho}{c} \text{if}'_y\right), & \text{if } c = \beta \left(\text{if}'_z + \frac{\rho}{c} H'_y\right). \end{cases}$$

Passons maintenant à la covariance de la densité électrique. Nous avons posé (II, 230), pour la densité électrique,

(178)
$$\rho = \frac{\sigma}{V} = \sigma u^4.$$

Rappelons que σ est un multiplicateur (II, 170); nous aurons donc ici, en passant de S' à S,

$$\sigma = \sigma'.$$

Le tableau (172) nous donne immédiatement la variance de u^4 ; à savoir

(180)
$$u'^{4} = \beta \left(u^{4} - \frac{v}{c^{2}} u^{1} \right) = \beta u^{4} \left(1 - \frac{v}{c} \frac{dx}{dt} \right).$$

Nous aurons donc

(181)
$$\rho' = \sigma' u'^4 = \sigma u^4 \beta \left(1 - \frac{v}{c^2} \frac{dx}{dt} \right),$$

ou encore

Remarquons que $\frac{dx}{dt}$ qui figure dans (181) est la vitesse suivant x, de l'électricité considérée par S.

19. Invariance de la charge électrique. — ll résulte immédiatetement des formules (182) et (171) l'invariance de la charge électrique. Si nous considérons, en effet, une charge au repos par rapport à S' nous devrons poser

$$\frac{dx}{dt} = v;$$

(182) devient donc

$$\rho = \rho' \beta.$$

En multipliant (183) et (171) membre à membre, on obtient

$$\rho \, \delta \nu = \rho' \, \delta \nu',$$

ou encore

$$\delta e = \delta e',$$

ce qui exprime l'invariance de la charge électrique.

20. Phénomène de Doppler et aberration des fixes. — Considérons avec Einstein un système d'ondes planes de fréquence ν , dans le système fixe(0; x, y, z); ce champ électromagnétique sera défini par

(185)
$$\begin{cases} H_x = H_x^0 \sin \theta, & \mathcal{H}_x = \mathcal{H}_x^0 \sin \theta, \\ H_y = H_y^0 \sin \theta, & \mathcal{H}_z = \mathcal{H}_z^0 \sin \theta, \\ H_z = H_z^0 \sin \theta, & \mathcal{H}_z = \mathcal{H}_z^0 \sin \theta, \end{cases}$$

où l'on a posé

(186)
$$\theta \equiv 2 \pi v \left[t - \frac{1}{c} (x \cos nx + y \cos ny + z \cos nz) \right].$$

Le symbole n représente la demi-normale au plan de l'onde

$$(187) x \cos nx + y \cos ny + z \cos nz = \text{const.},$$

cette demi-normale étant tracée dans le sens de la propagation de l'onde.

Passons au système (O'; x', y', z'); les transformées de (185) seront, (175),

$$(188) \begin{cases} H'_{x'} = H^0_x \sin \theta, & \mathcal{H}'_{x'} = \mathcal{H}^0_x \sin \theta, \\ H'_{y'} = \beta \left(H^0_y - \frac{v}{c} \mathcal{H}^0_y \right) \sin \theta, & \mathcal{H}'_{y'} = \beta \left(\mathcal{H}^0_y + \frac{v}{c} H^0_y \right) \sin \theta, \\ H'_{z'} = \beta \left(H^0_y + \frac{v}{c} \mathcal{H}^0_y \right) \sin \theta, & \mathcal{H}'_{z'} = \beta \left(\mathcal{H}^0_y - \frac{v}{c} H^0_y \right) \sin \theta. \end{cases}$$

Dans le système mobile, le spectateur S'écrira pour l'onde plane observée, des relations analogues à (185)

(189)
$$\begin{cases} H'_{x'} = H'^{0}_{x'} \sin \theta', & \mathcal{H}'_{x'} = \mathcal{H}'^{0}_{x'} \sin \theta', \\ \dots & \dots \\ \dots & \dots \end{cases}$$

οù

(190)
$$\theta' = 2 \pi v' \left[t' - \frac{1}{c} (x' \cos n' x' + y' \cos n' y' + z' \cos n' y') \right].$$

En vertu de (185) et de (188), on aura $H_x = H_x'$; d'où en vertu de (185) et de (189)

(191)
$$\theta' = \theta.$$

Dans (186) remplaçons x, y, z et t par leurs valeurs tirées de la

transformation de Lorentz (163). De là, résultent les quatre relations

(192)
$$\sqrt{-\frac{v}{c}} \cos nx,$$

$$\sqrt{\cos n'} x' = \frac{\cos nx - \frac{v}{c}}{1 - \frac{v}{c}\cos nx},$$

$$\cos n' y' = \frac{\cos ny}{\beta \left(1 - \frac{v}{c}\cos nx\right)},$$

$$\cos n' z' = \frac{\cos nz}{\beta \left(1 - \frac{v}{c}\cos nx\right)}.$$

La relation (192) exprime la loi du phénomène de Doppler (aussi connu sous le nom de principe de Doppler-Fizeau).

Dans le cas particulier où l'angle nx = 0, on a

(194)
$$v' = v \frac{\sqrt{1 - \frac{v}{c}}}{\sqrt{1 + \frac{v}{c}}}.$$

Le spectateur S', animé de la vitesse v, observera la fréquence v', si v est positif, ce spectateur fuit la lumière; dans ce cas, la fréquence v' ainsi observée est plus petite que la fréquence v observée par le spectateur immobile S.

Les trois relations (193) expriment le phénomène de l'aberration des fixes. Dans le cas particulier où $nx = \frac{\pi}{2}$, on a

$$\cos n' \ x' = -\frac{v}{c},$$

donc si v est positif, l'angle n'x' observé par S' sera un peu plus grand que $\frac{\pi}{2}$.

21. Variance de l'énergie lumineuse. — L'amplitude variable (au carré) de la force électrique observée par S est (185)

(196)
$$H^2 = H_x^2 + H_y^2 + H_z^2,$$

l'amplitude maximum (au carré) de cette force électrique est

(197)
$$H_0' = H_x^{02} + H_0^{02} + H_0^{02}.$$

On peut écrire des relations analogues pour la force magnétique &. On aura, en outre,

(198)
$$H^0 = \mathcal{H}^0.$$

Utilisons la covariance (176)

$$(199) T_2'^3 = T_2^3;$$

en remplaçant cette composante du tenseur asymétrique par sa valeur (60) écrite dans le cas où B = H et $\mathcal{B} = \mathcal{H}$, on aura, en utilisant les relations (185),

$$\left(\frac{\mathrm{H}^{0}}{\mathrm{H}'^{0}}\right)^{2} = \frac{\cos n' \, y' \cos n' \, z'}{\cos n \, y \cos n \, z}.$$

Reportons-nous aux deux dernières covariances (193), d'où

(200)
$$\frac{\mathrm{H}^{\prime 0}}{\mathrm{H}^{0}} = \beta \left(\mathrm{I} - \frac{\mathrm{o}}{c} \cos n x \right),$$

ou, en vertu de (192),

$$\frac{H'^0}{H^0} = \frac{v'}{v}.$$

La relation (200) exprime la covariance de l'amplitude de la force électrique. On aura la même covariance pour la covariance de l'amplitude de la force magnétique.

Remarquons (60), que l'on a ici

(202)
$$T_4^{1(e)} = \frac{1}{2} (H^o + \mathcal{H}^2) = H_0^2 \sin^2 \theta.$$

Il en résulte que, (191),

$$\frac{T_4^{\prime,4(e)}}{T_4^{4(e)}} = \left(\frac{H_0'}{H_0}\right)^2 = \left(\frac{v'}{v}\right)^2.$$

Rattachons ces diverses covariances (192 à 203) à la covariance

(204)
$$\frac{dt'}{dt} = \beta \left(\mathbf{I} - \frac{v}{c^2} \frac{dx}{dt} \right),$$

où $\frac{dx}{dt}$ représente ici la composante, suivant Ox, de la vitesse de l'énergie électromagnétique; on aura donc

$$\frac{dx}{dt} = c \cos nx,$$

c représentant la vitesse de la lumière.

Il en résulte que

(206)
$$\frac{dt'}{dt} = \beta \left(\mathbf{1} - \frac{\mathbf{v}}{\mathbf{c}} \cos n \, \mathbf{x} \right),$$

ou, en vertu de (192),

$$\frac{dt'}{dt} = \frac{\mathbf{v}'}{\mathbf{v}},$$

covariance remarquable parce qu'elle montre le lien qui existe entre la mesure du temps au moyen de la lumière et celle de sa fréquence, mesures effectuées respectivement par les spectateurs S' et S.

22. Thermodynamique des corps en mouvement rectiligne et uniforme. — Il résulte immédiatement de (167) que, lors d'une transformation de Lorentz, on aura

$$\mathfrak{N} = \mathfrak{N}', \quad \mathfrak{U} = \mathfrak{U}',$$

$$\mathbf{T}^{\star} = \mathbf{T}^{\star\prime}$$

ce qui montre donc, pour deux observateurs animés l'un par rapport à l'autre d'un mouvement rectiligne et uniforme, l'invariance des facteurs d'apports calorifiques, de chaleur non compensée et du facteur de densité entropique.

Proposons-nous maintenant d'établir la variance de l'énergie, de la chaleur et de l'entropie (156). Pour cela rappelons-nous la covariance (171); il résulte alors des définitions de dQ, dQ* et E que l'on a

(211)
$$dQ = \beta^{-1} dQ', \quad dQ^* = \beta^{-1} dQ^{*'}, \quad E = \beta^{-1} E',$$

Retournons maintenant aux définitions (159) de l'entropie S et de la température T.

En vertu du tableau (172), nous pouvons écrire pour la variance

de u4

$$(212) u^4 = \beta u^4.$$

On aura donc, en vertu de (156), (159),

(213)
$$S = S', T = \beta^{-1}T'.$$

Nous obtenons donc ainsi, de façon tout à fait synthétique, la variance de toutes les fonctions thermodynamiques, et en particulier, l'invariance de l'entropie.

23. Électromagnétostriction des corps en mouvement rectiligne et uniforme. — Cette application résulte immédiatement de notre théorie générale de l'électromagnétostriction (Chap. I) et des tableaux de variances (172 à 176). Reportons-nous aux définitions et interprétations électromagnétiques (130 à 135) relatives aux corps considérés au repos; donc tous ces symboles doivent être affectés d'un accent. Passons maintenant au système en mouvement rectiligne et uniforme de vitesse ν par rapport au spectateur S'. Grâce aux tableaux des variances (172 à 176), on pourra calculer les $\mathcal{JC}^{\alpha\beta}$, $\mathcal{JC}^{\alpha\beta}$, \mathcal{JC}^{β} , \mathcal{JC}^{β} , \mathcal{JC}^{β} , \mathcal{JC}^{β} , \mathcal{JC}^{β} , \mathcal{JC}^{β} , $\mathcal{JC}^{\alpha\beta}$

En particulier, les corps purs que nous avons définis au (II, 328) nous donnent ici

(214)
$$\mathcal{K}^{\alpha\beta} = \mathcal{H}^{\mu\nu} \varphi^{\alpha\beta}_{\mu\nu},$$

où nous avons posé

(215)
$$\varphi_{\mu\nu}^{\alpha\beta} \equiv \delta_{\mu}^{\alpha} \, \delta_{\nu}^{\beta} - p_{(e)}^{\alpha} \, u_{\nu} \, u^{\beta} + p_{(e)}^{\beta} \, u_{\nu} \, u^{\alpha} \qquad (\alpha, \beta = 1, 2, 3, 4).$$

Rappelons que $\delta^{\alpha}_{\mu} = z\acute{e}ro$ ou un suivant que μ est différent ou non de α .

Remarquons, en outre, que les $\phi_{\mu}^{\alpha\beta}$ sont covariants par rapport à μ et ν et contravariants par rapport à α et β ; on trouvera ainsi leur transformée.

Dans le champ de Minkowski, et pour des corps au repos, les relations (214) deviennent

(216)
$$\mathcal{K}^{\prime ij} = \mathcal{H}^{\prime ij},$$

(217)
$$\mathcal{K}^{\prime \downarrow i} = \mathcal{H}^{\prime \downarrow j} \; \epsilon_{j}^{\prime i}$$

en posant

(218)
$$\epsilon_{j}^{\prime i} = \delta_{j}^{i} - p_{j}^{i} \quad (i, j = 1, 2, 3),$$

L'interprétation des formules (217) est immédiate. Il suffit de retourner aux tableaux (26) et (131). Ces formules s'écrivent alors

$$(219) B_i = H_i \, \epsilon_i^i,$$

ε, est la généralisation de la constante diélectrique.

Grâce aux formules (175), passons du spectateur S' au spectateur S en exprimant $\mathcal{K}^{'4i}$ et $\mathcal{E}^{'4j}$ en fonction de $\mathcal{K}^{\alpha\beta}$ et $\mathcal{E}^{\alpha\beta}$ dans la formule (217). En identifiant alors le résultat obtenu avec (214), on peut établir très facilement les relations qui unissent les $\varphi^{\alpha\beta}_{\mu\nu}$ et les ε'_j . On trouvera ainsi

En reprenant le même raisonnement à partir des formules

$$\mathfrak{K}^{\alpha\beta}_{\perp} = \mathfrak{R}^{\mu\nu}_{\perp} \Psi^{\alpha\beta}_{\mu\nu},$$

on trouve les $\psi^{\alpha\beta}_{\mu\nu}$ des corps en mouvement en fonction du tenseur μ''_{j} de la perméabilité magnétique des corps au repos.

24. Invariance de la constante universelle h de Planck. — Reportons-nous à la variance (211) de l'énergie et assimilons E et E' à des quanta d'énergie; à savoir

$$(222) E = hv, E' = h'v'.$$

Reportons-nous, d'autre part, à la formule (I, 61). D'où

$$(223) \qquad \qquad \mathsf{v} = \mathsf{\beta}^{-1} \, \mathsf{e}',$$

En comparant (211) et (223) et en tenant compte de (222), on obtient (1)

$$(224) h=h'.$$

⁽¹⁾ On peut aussi obtenir cette invariance dans le cas de la relativité générale (Th. DE DONDER, Bull. Ac. R. Belg., Cl. des Sciences, 5° série, t. XVI, séance du 8 nov. 1930, p. 1184-1187).

- 25. Réflexion sur un miroir parfait en mouvement rectiligne et uniforme. Nous ne reprendrons pas ici ce problème, qui a été traité complètement par nous dans la Gravifique Einsteinienne (1).
- 26. Quantité de mouvement et énergie d'un électron de Lorentz en mouvement rectiligne et uniforme. Nous avons donné précédemment (III, § 16) la théorie de l'électron de Lorentz à l'état de repos, c'est-à-dire qu'on aura en tous points de cet électron

$$\frac{dx'}{dt'} = 0.$$

Calculons avec S les composantes rectangulaires G_x , G_y , G_z des quantités de mouvement définies

(226)
$${}^{\sharp}G_x = \int_{\nu} T_{\dagger}^{4(e)} \delta \nu, \qquad \dots, \qquad \dots$$

En tenant compte des covariances (176) et (171) et de (60), on trouvera facilement

(227)
$$G_{x} = \frac{\beta \nu}{c^{2}} \int (H_{j}^{2} + H_{z}^{2}) \delta \nu',$$

la force magnétique \mathcal{H}' étant identiquement nulle dans le cas d'un électron immobile. On démontre facilement que les deux autres composantes sont nulles, à cause de la symétrie sphérique qui règne dans l'électron immobile dans le système S'.

La quantité de mouvement de l'électron de Lorentz animé d'un mouvement de translation de vitesse v et observé par le spectateur S a pour valeur

(228)
$$G = \frac{\beta \nu}{c^2} \int (H_y'^2 + II_z'^2) \delta \nu'.$$

Remarquons que l'énergie électromagnétique contenue dans une couche sphérique extérieure à l'électron immobile pour S' et prise dans le champ de celui-ci vaut

(229)
$$E' = \frac{1}{2} \int (H_{x}'^{2} + H_{y}'^{2} + H_{z}'^{2}) \delta \nu',$$

⁽¹⁾ Paris, Gauthier-Villars, 1921 (voir § 79, p. 131). — A. EINSTEIN, Ann der Physik, t. 17, 1905.

l'intégrale étant étendue à la couche v', c'est à-dire à l'espace compris entre deux sphères concentriques à l'électron.

A cause de la symétrie sphérique de cet électron, on aura

(230)
$$\int H_{x'}^{\prime 2} \, \delta \nu' = \int H_{y'}^{\prime 2} \, \delta \nu' = \int H_{z'}^{\prime 2} \, \delta \nu' = \frac{2}{3} \, E'.$$

En substituant cette valeur (364) dans (362), on a

(231)
$$G = \frac{4}{3} \frac{E'}{c} \beta \nu.$$

Rappelons que E' désigne l'énergie qui *entoure* l'électron au repos. Or nous avons trouvé pour cette énergie (III, 222)

e' et A' désignant respectivement la charge et le rayon de l'électron. Nous trouvons donc pour la quantité de mouvement G (228)

(233)
$$G = \frac{1}{c^2} \frac{e'^2}{6\pi A'} \beta \nu.$$

27. Variance de la masse. — Reportons-nous à (II, 100) ainsi qu'au cas particulier du champ de Minkowski (II, 102 et 103). Nous avons vu que δm^* est la masse $\delta m'$ au repos, d'où

$$\delta m = \beta \delta m'.$$

28. Masse longitudinale et masse transversale. — Retournons d'abord aux équations (II, 263 et 262) et appliquons-les à une particule chargée en mouvement rectiligne; elles peuvent s'écrire, en vertu des notations (131) et de (II, 169) et en se rappelant que $v^1 = v$, $v^2 = 0$, $v^3 = 0$, $v^4 = 1$,

(235)
$$\begin{pmatrix}
\frac{d}{dt} \left(\frac{m' \, v^1}{\sqrt{1 - \left(\frac{v}{c}\right)^2}} \right) = e' \, H_x, \\
\frac{d}{dt} \left(\frac{m' \, v^2}{\sqrt{1 - \left(\frac{v}{c}\right)^2}} \right) = e' \left(H_y - \frac{v}{c} \, \mathcal{H}_z \right), \\
\frac{d}{dt} \left(\frac{m' \, v^3}{\sqrt{1 - \left(\frac{v}{c}\right)^2}} \right) = e' \left(H_z + \frac{v}{c} \, \mathcal{H}_y \right),$$

et enfin

(236)
$$\frac{d}{dt} \left(\frac{m' c^{\circ}}{\sqrt{1 - \left(\frac{\nu}{c}\right)^{2}}} \right) = e' \nu H_{x}.$$

Après les dérivations par rapport à t, on aura soin de remplacer ρ^2 et ρ^3 par $z\acute{e}ro$; ρ^1 par ρ .

Par définition, la quantité de mouvement de m' a pour composantes (235)

(237)
$$\frac{m' v^i}{\sqrt{1-\left(\frac{v}{c}\right)^2}} \qquad (i=1,2,3).$$

Remarquons aussi que (236) peut s'écrire (184 et 234)

(238)
$$\frac{d}{dt}(mc^{\circ}) = e v H_{x}.$$

Cette relation représente une transformation d'énergie par unité de temps.

Les équations (235) et (236) peuvent se mettre sous une forme remarquable, analogue à celle par laquelle Galilée exprime la relation entre la force mécanique d'une part, la masse et l'accélération d'autre part.

Portons (236) dans (235), d'où

(239)
$$\begin{cases} \frac{e'(v)^{\circ} H_{x}}{c^{2}} + \beta m' \frac{d^{2}x}{dt^{2}} = e' H_{x}, \\ \beta m' \frac{d^{2}y}{dt^{2}} = e' \left(H_{y} - \frac{v}{c} \partial \ell_{z} \right), \\ \beta m' \frac{d^{2}z}{dt^{2}} = e' \left(H_{z} + \frac{v}{c} \partial \ell_{z} \right). \end{cases}$$

Ces trois équations peuvent s'écrire, grâce à (177),

(240)
$$\begin{cases} \beta^3 m' \frac{d' x}{dt'} = e' H'_x, \\ \beta^9 m' \frac{d' y}{dt'} = e' H'_y, \\ \beta^9 m' \frac{d' z}{dt^2} = e' H'_z, \end{cases}$$

ces équations se rapportent à un instant t.

En nous inspirant de la force mécanique définie par Galilée, nous dirons, avec Einstein (1), que $\beta^3 m'$ est la masse longitudinale de la particule chargée considérée et que $\beta^3 m'$ est sa masse transversale. En vertu de (234) on pourra dire aussi que $\beta^2 m$ est sa masse longitudinale et que βm est sa masse transversale.

En utilisant (163) on voit immédiatement que les équations (240) peuvent aussi s'écrire

$$\begin{pmatrix}
m' \frac{d' x'}{dt'^{2}} = e' H'_{x}, \\
m' \frac{d' y'}{dt'^{2}} = e' H'_{\gamma}, \\
m' \frac{d' z'}{dt'^{2}} = e' H'_{z},
\end{pmatrix}$$

ces équations ont la forme galiléenne.

CHAPITRE IV

APPLICATION A LA MÉCANIQUE ONDULATOIRE DE DIRAC GÉNÉRALISÉE.

29. Équations gravifiques et électroniques. — Présentons sous une forme tout à fait synthétique l'étude des systèmes électromagnétiques les plus généraux que nous avons considérés au Chapitre I du présent fascicule. A cet effet, rappelons d'abord les dix équations gravifiques (1); à savoir

$$\frac{\partial (\mathfrak{M}^g - \mathfrak{N} \mathbf{W}^o + \mathfrak{M}^{(m)}_{\star} + \mathfrak{M}^{(m,e)}_{\star} + \mathfrak{M}^{(e)}_{\star})}{\delta g^{\alpha\beta}} = 0,$$

où les fonctions caractéristiques Ms et M ont été définies par (4) et (5).

Passons ensuite aux quatre équations électroniques ou maxwelliennes dont nous avons indiqué la généralisation dans (27) et (28)

⁽¹⁾ EINSTEIN, Ann. der Physik, Bd XVII, 1905. — Einstein suppose que l'accélération est faible. Alors la particule demeure approximativement au repos dans le système entraîné S'.

et supposons qu'il n'y ait pas de courant magnétique ('), c'est-à-dire que $C^{\alpha}_{\star} = 0$. Dans ce cas, on pourra poser (II, 330),

$$\mathcal{K}_{\star}^{\overline{\alpha}\overline{\beta}} = \Phi_{\alpha,\beta} - \Phi_{\beta,\alpha}.$$

Autrement dit ces quantités dérivent d'un potentiel vecteur électromagnétique $(\Phi_1 \dots \Phi_4)$. Nous allons aussi écrire ces équations maxwelliennes sous forme de dérivée variationnelle; à savoir

(244)
$$\frac{\delta(\mathfrak{Ms}-\mathfrak{N}W^{\circ}+\mathfrak{M}_{\star}^{(n\iota)}+\mathfrak{M}_{\star}^{(n\iota)}+\mathfrak{M}_{\star}^{(e\iota)})}{\delta\Phi_{\alpha}}=0.$$

Précisons la manière dont la dérivée variationnelle par rapport à Φ_{α} doit être prise dans (244) pour qu'on obtienne les équations (27) et (28) susmentionnées. Pour cela, reportens-nous à $\mathfrak{M}^{(e)}_{\star}$ dont la valeur est explicitement donnée en (10). Dans cette expression nous considérons les K_{α_i} comme fonctions uniquement (2) de $x_1 \dots x_4$ (et non de Φ_{α}), et les variations de ces fonctions par rapport aux Φ_{α} seront donc nulles.

Retournons à (244). Nous savons que \mathfrak{M}^s , $\mathfrak{I}(W^2, \mathfrak{M}^{(m)}_{\star})$ ne dépendent pas des Φ_{α} . Posons

(245)
$$\frac{\delta \mathfrak{I}(m,e)}{\delta \Phi_{\alpha}} \equiv C_{(e)}^{\alpha} \quad (\alpha = 1...4),$$

où $C^{\alpha}_{(e)}$ représente le courant électrique (total).

Les dix équations gravifiques (242) peuvent alors s'écrire explicitement (II, 15)

(246)
$$-\frac{1}{2}(a+bC)g_{\alpha\beta}+bG_{\alpha\beta}=Nu_{\alpha}u_{\beta}+P_{\alpha\beta}+T_{\alpha\beta}^{(e)}$$

et les quatre équations maxwelliennes s'écriront explicitement, grâce à (245),

(247)
$$\frac{\partial \mathcal{K}^{\alpha\beta}}{\partial x_{\beta}} = C^{\alpha}_{(e)}.$$

⁽¹⁾ On peut se passer de cette hypothèse restrictive, en introduisant le potentiel vecteur adjoint Φ_{α} (voir, à ce sujet, la note de *Jules Géhéniau (Bull. Ac. R. Belg.*, Cl. des Sciences, 5° série, t. XVII, séance du 4 juillet 1931, p. 921-926).

^{· (2)} Il serait aisé de faire disparaître cette restriction ou cette convention, en modifiant, au (245), la définition du courant $C_n^{(e)}$.

30. Équations gravifiques, électroniques et photoniques. — Introduisons maintenant la fonction caractéristique ou universelle

(248)
$$\mathfrak{IN}^{g} + \mathfrak{IN}^{(g)} + \mathfrak{IN}^{(ph)};$$

l'indice (ph) se lira photonique. Si nous comparons cette fonction à celle qui figure dans (242) et (244), on voit qu'on a remplacé dans cette dernière tous les termes massiques [$-\mathcal{H}W^2 + \mathcal{M}^{(m)}_{\star} + \mathcal{M}^{(m,e)}_{\star}$] par le seul terme photonique $\mathcal{M}^{(ph)}$.

Nous allons maintenant désinir la fonction $\mathcal{M}^{(ph)}$ au moyen des potentiels photoniques P_{μ} et Q_{μ} et des potentiels électromagnétiques Φ_{α} . Nous écrirons, pour simplifier,

(249)
$$\zeta_{\mu} = \frac{2\pi i ec}{h} \Phi_{\mu} \qquad (\mu = 1 \dots 4),$$

où $i \equiv \sqrt{-1}$.

Introduisons les notations

(250)
$$P_{\mu\nu} \equiv \frac{\partial P_{\nu}}{\partial x_{\mu}} - \frac{\partial P_{\mu}}{\partial x_{\nu}}, \qquad A_{\mu\nu} \equiv \zeta_{\nu} P_{\mu} - \zeta_{\mu} P_{\nu},$$

(251)
$$Q_{\mu\nu} \equiv \frac{\partial Q_{\nu}}{\partial x_{\mu}} - \frac{\partial Q_{\mu}}{\partial x_{\nu}}, \qquad B_{\mu\nu} \equiv \zeta_{\nu} Q_{\mu} - \zeta_{\mu} Q_{\nu},$$

ainsi que

(252)
$$\mathsf{x}\,\mathcal{S} \equiv \frac{\partial \mathcal{R}^{\mu}}{\partial x_{\mu}} - \zeta_{\mu}\,\mathcal{R}^{\mu},$$

(253)
$$\varkappa \mathcal{B} \equiv \frac{\partial \mathcal{Q}^{\mu}}{\partial x_{\mu}} - \zeta_{\mu} \mathcal{Q}^{\mu},$$

οù

$$x = \frac{2\pi i}{h} m c^*.$$

Posons, en outre,

il en résulte que

(256)
$$\varkappa U_{\mu\nu}^{\star} = (P_{\mu\nu}^{\star} + A_{\mu\nu}^{\star}) - (Q_{\mu\nu} + B_{\mu\nu}).$$

Les astérisques qui figurent dans $P_{\mu\nu}^{\star}$, Q_{μ}^{\star} , $A_{\mu\nu}^{\star}$, $B_{\mu\nu}^{\star}$ indiquent qu'il faut prendre *la dualistique* des quantités qui en sont affectées; autrement dit, on aura, par exemple, (II, 303),

$$\mathfrak{U}_{\star}^{\mu\nu} \equiv U_{\overline{\mu}\overline{\nu}}.$$

MÉMORIAL DES SC. MATH. - Nº 58.

Grâce aux notations (249) à (256), nous sommes en mesure maintenant de définir la fonction caractéristique M(ph) de J.-M. Whittaker (1); à savoir

(258)
$$\boxed{ 2 \mathbb{N}^{(ph)} \equiv [U^{\mu \nu} U^{\times}_{\mu \nu} + 2 (SS^{\times} - BB^{\times}) - 2 (P^{\mu} P^{\times}_{\mu} - Q^{\mu} Q^{\times}_{\mu})] \sqrt{-g}, }$$

les croix obliques qui figurent dans Ux, Sx, Bx, etc., indiquant qu'il faut prendre l'imaginaire conjuguée de l'expression qui en est affectée.

Prenons les dérivées variationnelles de $\mathfrak{M}^s + \mathfrak{N}^{(e)} + \mathfrak{M}^{(\mathrm{ph})}$ par rapport à $g^{\alpha\beta}$, à Φ_{α} et aux potentiels photoniques P_{μ} , Q_{μ}^{\times} , Q_{μ}^{\times} , Q_{μ}^{\times} . Nous aurons alors les équations gravifiques de la mécanique ondulatoire

(259)
$$\frac{\delta(\mathfrak{Ms} + \mathfrak{M}^{(p)} + \mathfrak{M}^{(ph)})}{\delta_{\mathcal{L}}\alpha^{3}} = 0,$$

les équations électroniques ou maxwelliennes

(269)
$$\frac{\delta(\mathfrak{Ms} + \mathfrak{M}^{(p)}_{\star} + \mathfrak{M}^{(ph)})}{\delta\Phi_{\alpha}} = 0$$

et enfin les équations photoniques

$$\begin{array}{ll} (261) & \frac{\delta(\mathfrak{M}^g+\mathfrak{M}^{(e)}_\star+\mathfrak{M}^{(e)}_\star+\mathfrak{M}^{(ph)})}{\delta P^\times_\mu}=o, & \frac{\delta(\mathfrak{M}^g+\mathfrak{M}^{(e)}_\star+\mathfrak{M}^{(ph)}_\star)}{\delta Q^\times_\mu}=o, \\ (262) & \frac{\delta(\mathfrak{M}^g+\mathfrak{M}^{(e)}_\star+\mathfrak{M}^{(e)}_\star+\mathfrak{M}^{(ph)})}{\delta P_{1L}}=o, & \frac{\delta(\mathfrak{M}^g+\mathfrak{M}^{(e)}_\star+\mathfrak{M}^{(ph)}_\star)}{\delta Q_{1L}}=o. \end{array}$$

(262)
$$\frac{\delta(\mathfrak{M}^{g}+\mathfrak{M}^{(e)}_{\star}+\mathfrak{N}^{(ph)})}{\delta P_{\mu}}=0, \qquad \frac{\delta(\mathfrak{M}^{g}+\mathfrak{M}^{(e)}_{\star}+\mathfrak{M}^{(ph)})}{\delta Q_{\mu}}=0.$$

En effectuant les calculs indiqués dans (259), nous obtenons explicitement

(263)
$$-\frac{1}{2}(a+bC)g^{\mu\nu}+bG^{\mu\nu}=T^{\mu\nu}_{(e)}+M^{\mu\nu},$$

où $T_{(e)}^{\mu\nu}$ est l'expression contravariante de (15) et où l'on a posé

$$(264) \qquad M^{\mu\nu} = -2 L^{\mu\nu} + \left(\frac{1}{2} L - P^{\alpha} P_{\alpha}^{\times} + Q^{\alpha} Q_{\alpha}^{\times}\right) g^{\mu\nu}$$

$$+ 2 N^{\mu\nu} - 2 Q^{\mu\nu} + 2 P^{\mu} P^{\times\nu} - 2 Q^{\mu} Q^{\times\nu}.$$

Dans cette expression les symboles L^{µν}, L, N^{µν}, O^{µν} sont définis par

⁽¹⁾ J.-M. WHITTAKER, Proc. of the Royal Soc., séries A, vol. 121, nº A.788, p. 543 557.

les relations suivantes :

$$\begin{split} \text{(265)} \qquad g \, L^{k\alpha\lambda\beta} &\equiv \frac{\hbar^{\,\prime}}{4\,\pi^{\,\prime}\,m^{\,\prime}\,c^{\,\prime}} \left[-\left(\frac{\partial P_{\delta}}{\partial x_{\gamma}} - \frac{\partial P_{\gamma}}{\partial x_{\delta}} - \zeta_{\gamma}\,P_{\delta} + \zeta_{\delta}\,P_{\gamma} \right) \right. \\ & \times \left(\frac{\partial P_{\gamma}^{\,\vee}}{\partial x_{\mu}} - \frac{\partial P_{\mu}^{\,\vee}}{\partial x_{\nu}} + \zeta_{\mu}\,P_{\gamma}^{\,\vee} - \zeta_{\nu}\,P_{\mu}^{\,\vee} \right) \\ & + \left(\frac{\partial Q_{\nu}}{\partial x_{\mu}} - \frac{\partial Q_{\mu}}{\partial x_{\nu}} - \zeta_{\mu}\,Q_{\nu} + \zeta_{\nu}\,Q_{\mu} \right) \\ & \times \left(\frac{\partial Q_{\delta}^{\,\vee}}{\delta x_{\gamma}} - \frac{\partial Q_{\gamma}^{\,\vee}}{\delta x_{\delta}} + \zeta_{\gamma}\,Q_{\delta}^{\,\vee} - \zeta_{\delta}\,Q_{\gamma}^{\,\vee} \right) \right], \end{split}$$

(266)
$$L^{\mu\nu} = g_{\xi\sigma} L^{\mu\nu\xi\sigma}, \qquad L = g_{\mu\nu} L^{\mu\nu},$$

(267)
$$N^{\mu\nu} = \left(\frac{1}{2} P^{\times \alpha} g^{\mu\nu} - P^{\times \nu} g^{\mu\alpha}\right) \left(\frac{h}{2\pi i m c^2} \frac{\partial S}{\partial x_{\alpha}} - \frac{e}{mc} \Phi_{\alpha} S\right) + \text{conjuguée} - \frac{1}{2} SS^{\times} g^{\mu\nu},$$

(268)
$$O^{\mu\nu} = \left(\frac{1}{2} Q^{\times\alpha} g^{\mu\nu} - Q^{\times\nu} g^{\mu\alpha}\right) \left(\frac{h}{2\pi i m c^2} \frac{\partial B}{\partial x^{\alpha}} - \frac{e}{mc} \Phi_{\alpha} B\right) + \text{conjuguée} - \frac{1}{2} BB^{\times} g^{\mu\nu}.$$

En effectuant les calculs indiqués dans (260) par rapport à Φ_{μ} , nous obtenons explicitement

(269)
$$\frac{\partial \mathcal{K}^{\mu\nu}}{\partial x_{\nu}} = -\frac{e\sqrt{-g}}{mc^{3}} \{ U^{\mu\nu} P_{\nu}^{\times} + U_{\nu}^{\mu\nu} Q_{\nu}^{\times} + SP^{\times\mu} - BQ^{\times\mu} + \text{conjuguée} \}.$$

Enfin, en effectuant les calculs indiqués dans (261), nous obtenons explicitement

(270)
$$\frac{\partial^{\mathcal{U}} \overset{\mu\nu}{}}{\partial x_{\nu}} = C^{\mu}_{(ph)}, \qquad \frac{\partial^{\mathcal{U}} \overset{\mu\nu}{}}{\partial x^{\nu}} = C^{\mu}_{\star(ph)},$$

où l'on a posé

(271)
$$C^{\mu}_{(ph)} = \zeta_{\nu} \mathcal{U}^{\mu\nu} - \zeta^{\mu} \mathcal{S} + \sqrt{-g} g^{\mu\nu} \frac{\partial S}{\partial x^{\nu}} - x \mathcal{R}^{\mu},$$

(272)
$$G^{\mu}_{s(ph)} = -\zeta_{\nu} \mathcal{U}^{\mu\nu}_{*} + \zeta \mu \mathcal{B} + \sqrt{-g} g^{\mu\nu} \frac{\partial \mathcal{B}}{\partial x^{\nu}} - \chi \mathcal{D}\mu.$$

La dérivée variationnelle (262) par rapport à P_{μ} et Q_{μ} donne deux équations conjuguées aux précédentes. On voit que les équations photoniques (270) ont la forme maxwellienne.

On appelle $C_{(ph)}^{\mu}$ et $C_{\star (ph)}^{\mu}$ les courants photoniques (1). Remarquons, d'après (270), qu'on a les théorèmes de conservation photonique

(273)
$$\sum_{\mu} \frac{\partial C^{\mu}_{(ph)}}{\partial x^{\mu}} = 0, \qquad \sum_{\mu} \frac{\partial C^{\mu}_{\star (ph)}}{\partial x^{\mu}} = 0.$$

31. Principe de correspondance (2). — *Identifions* les seconds membres de (263) et de (246) mis sous forme contravariante. Nous obtenons alors

(274)
$$N u^{\alpha} u^{\beta} + P^{\alpha\beta} = M^{\alpha\beta},$$

où M^{σβ} est donné par (264).

Identifions ensuite le second membre de (269) avec celui de (247). Nous obtenons de même

(275)
$$C^{\mu}_{(e)} = -\frac{e\sqrt{-g}}{mc^3} \{ U^{\mu\nu} P^{\kappa}_{\nu} + U^{\mu\nu}_{*} Q^{\kappa}_{\nu} + SP^{\kappa\mu} - BQ^{\kappa\mu} + conjuguée \}.$$

On voit que grâce à notre principe de correspondance, il est possible d'exprimer les termes massiques $Nu^{\alpha}u^{\beta} + P^{\alpha\beta}$ et les courants électriques $C^{\alpha}_{(e)}$ en fonction des potentiels électromagnétiques et photoniques.

32. Théorème de la conservation de l'électricité et théorème de l'impulsion et de l'énergie, exprimés au moyen des potentiels photoniques. — Reportons-nous à (269) et remarquons que l'on a identiquement

$$\frac{\partial^2 \mathcal{K}^{\alpha\beta}}{\partial x_{\alpha} \, \partial x_{\beta}} = 0.$$

On aura donc le théorème de la conservation de l'électricité

$$\frac{\partial \mathcal{C}_{(e)}^{\alpha}}{\partial x_{\alpha}} = 0,$$

⁽¹⁾ DE DONDER, Bull. Ac. Roy. Belg., Cl. des Sc., 5° série, t. XIII, n° 8-9, 2 août 1927, p. 507-509; t. XIV, n° 6, 2 juin 1928, p. 307-312. — R. FERRIER, Revue gén. de l'Électr., t. XXI, 11 juin 1927. — L. DE BROGLIE, Ondes et Mouvements. Paris, 1926 (voir p. 70).

⁽²⁾ Th. De Donder, Bull. Ac. Roy. Belg., Cl. des Sc., 5° série, t. XIII, n°° 8-9, 2 août 1927, p. 507-509; t. XV, n° 2, 2 février 1929, p. 116 119. — Oskar Klein. Z.f. Ph., Bd XLI, Heft 6 7, 1927 [voir éq. (18), p. 414].

où $\mathcal{C}^{\alpha}_{(e)}$ est exprimé grâce à (275) en fonction des potentiels électromagnétiques et des potentiels photoniques. Ce théorème est le correspondant du théorème (30').

D'autre part, en appliquant les identités de Hilbert à la fonction Ms, on obtient (II, 22 et 23)

(278)
$$\left[-\frac{1}{2}(a+bC)g^{\mu\nu}+bG^{\mu\nu}\right]_{\nu}=0,$$

le symbole. ν indiquant la dérivée covariante de l'expression entre crochets par rapport à x_{ν} . On aura donc, en vertu de (263), le théorème de l'impulsion et de l'énergie

(279)
$$\left(T_{(e)}^{\mu\nu} + M^{\mu\nu}\right)_{\nu} = 0;$$

où $T_{(e)}^{\mu\nu}$ et $M^{\mu\nu}$ sont donnés respectivement en (15) et (264). On voit que ce théorème est exprimé au moyen des potentiels électromagnétiques et des potentiels photoniques.

Le théorème (279) est le correspondant du théorème (21).

- 33. Théorème de compatibilité. A cause des relations (30') et (21), ainsi que du principe de correspondance, il faut qu'on ait (277) et (279). Nous avons démontré dans le paragraphe précédent que ces conditions sont satisfaites en vertu des seules équations gravifiques, électromagnétiques et photoniques (263, 269 et 270), autrement dit, sans faire appel au principe de correspondance (1).
- 34. Équations quantiques de Dirac. Nous allons appliquer les équations générales (270) ci-dessus au cas particulier d'un champ de Minkowski et nous choisirons les variables de telle façon que le ds² définissant celui-ci soit de la forme

(280)
$$ds^{2} = dt^{2} - \frac{1}{c^{2}} (dx^{2} + dy^{2} + dz^{2}).$$

Au lieu du potentiel vecteur Φ_{α} que nous avons utilisé ci-dessus, nous utiliserons avec Whittaker le potentiel $\overline{\Phi}_{\alpha}$ lié au précédent par

⁽¹⁾ Th. DE DONDER, Bull. Ac. R. Belg., Cl. des Sc., 5° série, t. X, séance du 5 avril 1924, p. 188-201.

la relation

$$\overline{\Phi}_{\alpha} = \frac{1}{c^2} \Phi_{\alpha}.$$

En utilisant les notations que nous avons définies précédemment, nous aurons

(282)
$$\overline{\Phi}_1 = -\frac{1}{c^2} A_x$$
, $\overline{\Phi}_2 = -\frac{1}{c^2} A_y$, $\overline{\Phi}_3 = -\frac{1}{c} A_z$, $\overline{\Phi}_4 = oV$.

Nous poserons de même

(282')
$$X_{\mu\nu} = \frac{\partial \overline{\Phi}_{\nu}}{\partial x_{\mu}} - \frac{\partial \overline{\Phi}_{\mu}}{\partial x_{\nu}},$$

ce qui donne donc, en vertu de (243),

$$X_{\mu\nu} = \frac{{\rm I}}{c^2} \left(\frac{\partial \Phi_{\nu}}{\partial x_{\mu}} - \frac{\partial \Phi_{\mu}}{\partial x_{\nu}} \right) = - \frac{{\rm I}}{c^2} \mathcal{K}^{\overline{\mu\nu}}.$$

Nous supposerons dans ce paragraphe qu'il n'y a ni polarisation électrique, ni polarisation magnétique, de sorte que nous pourrons écrire

(284)
$$X_{\mu\nu} = -\frac{1}{c^2} H_{\mu\nu}.$$

Remarquons que chez Whittaker, les indices μ , ν , etc. varient de o à 3 au lieu de 1 à 4. Pour plus d'uniformité, nous utiliserons ici cette manière de procéder et choisirons 0, 1, 2, 3 comme permutation fondamentale.

Grâce à (280) nous pouvons déduire très facilement de (284) les composantes $H^{\mu\nu}$; à savoir

(285)
$$X^{\mu\nu} = -c^2 H^{\mu\nu}$$

En reprenant les notations (131), nous pourrons donc écrire

$$\begin{cases} X_{01} = \frac{1}{c^2} H_{14} = \frac{1}{c} H_x, & X_{23} = -\frac{1}{c^2} \mathcal{H}_{23} = -\frac{1}{c^2} \mathcal{H}_x, \\ X_{02} = \frac{1}{c^2} H_{24} = \frac{1}{c} H_y, & X_{31} = -\frac{1}{c^2} \mathcal{H}_{31} = -\frac{1}{c^2} \mathcal{H}_y, \\ X_{03} = \frac{1}{c^2} H_{34} = \frac{1}{c} H_z, & X_{12} = -\frac{1}{c^2} \mathcal{H}_{12} = -\frac{1}{c^2} \mathcal{H}_z. \end{cases}$$

Il en résulte, (285), que

(287)
$$\begin{cases} X^{01} = -c H_x, & X^{03} = \mathcal{H}_v, \\ X^{02} = -c H_y, & X^{31} = \mathcal{H}_y, \\ X^{03} = -c H_z, & X^{10} = \mathcal{H}_z. \end{cases}$$

Posons encore avec Whittaker

(288)
$$P_0 \equiv P_t$$
, $P_1 \equiv -\frac{1}{c} P_r$, $P_2 \equiv -\frac{1}{c} P_1$, $P_4 \equiv -\frac{1}{c} P_2$

et

(289)
$$Q_0 \equiv Q_I$$
, $Q_1 = -\frac{1}{c}Q_v$, $Q_2 \equiv -\frac{1}{c}Q_y$, $Q_3 = -\frac{1}{c}Q_z$.

Nous aurons donc, grâce à (280),

(290)
$$P^0 = P_t$$
, $P^1 = -cP_x$, $P^2 = -cP_j$, $P^3 = -cP_z$

et

(291)
$$Q^0 = Q_t$$
, $Q^1 = -c Q_x$, $Q^2 = -c Q_y$, $Q^3 = -c Q_z$.

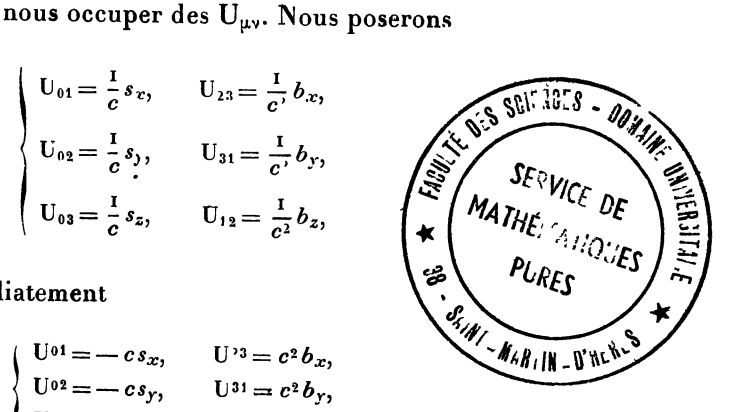
Il nous reste enfin à nous occuper des $U_{\mu\nu}$. Nous poserons

(292)
$$\begin{cases} U_{01} = \frac{1}{c} s_{z}, & U_{23} = \frac{1}{c}, b_{x}, \\ U_{02} = \frac{1}{c} s_{z}, & U_{31} = \frac{1}{c}, b_{y}, \\ U_{03} = \frac{1}{c} s_{z}, & U_{12} = \frac{1}{c^{2}} b_{z}, \end{cases}$$

ce qui donne immédiatement

$$\begin{cases} U^{01} = -c s_x, & U^{3} = c^2 b_x, \\ U^{02} = -c s_y, & U^{31} = c^2 b_y, \\ U^{03} = -c s_z, & U^{12} = c^{\circ} b_z. \end{cases}$$

Introduisons les notations (281) à (293) dans les équations générales (270), en se rappelant que les seconds membres de ces équa-



tions sont définis par (271) et (272). Nous obtenons :

(294)
$$\begin{cases} -\frac{1}{c} \left[\frac{\partial s}{\partial t} \right] - [\operatorname{rot} b] = \frac{2\pi i}{h} mc P + [\operatorname{grad} S], \\ [\operatorname{div} s] = \frac{2\pi i}{h} mc P_t - \frac{1}{c} \left[\frac{\partial S}{\partial t} \right]; \\ -\frac{1}{c} \left[\frac{\partial b}{\partial t} \right] + [\operatorname{rot} s] = \frac{2\pi i}{h} mc Q - [\operatorname{grad} B], \\ [\operatorname{div} b] = \frac{2\pi i}{h} mc Q_t - \frac{1}{c} \left[\frac{\partial B}{\partial t} \right]. \end{cases}$$

Les crochets qui figurent dans les équations précédentes servent à rappeler que les opérations $\frac{1}{c} \frac{\partial}{\partial t}$ et $\frac{\partial}{\partial x}$ doivent être remplacées respectivement par $\frac{1}{c} \frac{\partial}{\partial t} - \frac{2\pi ie}{hc} V$ et $\frac{\partial}{\partial x} + \frac{2\pi ie}{hc} A_1$, etc. Dans le cas où toutes les composantes du potentiel vecteur sont nulles, les opérations ci-dessus se réduisent donc aux opérations ordinaires.

Dans les équations (294) les symboles P, Q désignent les vecteurs ordinaires dont les composantes sont respectivement (P_x, P_y, P_z) , (Q_x, Q_y, Q_z) . Les scalaires S et B et les vecteurs $b(b_x, b_y, b_z)$ et $s(s_x, s_y, s_z)$ sont définis par les relations (255) et (256) qui deviennent ici :

(295)
$$\begin{cases} \frac{2\pi i}{h} mcb = -[\operatorname{rot} P] - \frac{1}{c} \left[\frac{\partial Q}{\partial t} \right] - [\operatorname{grad} Q_{\ell}], \\ \frac{2\pi i}{h} mcs = [\operatorname{rot} Q] - \frac{1}{c} \left[\frac{\partial P}{\partial t} \right] - [\operatorname{grad} P_{\ell}], \\ \frac{2\pi i}{h} mcS = [\operatorname{div} P] + \frac{1}{c} \left[\frac{\partial P_{\ell}}{\partial t} \right], \\ \frac{2\pi i}{h} mcB = [\operatorname{div} Q] + \frac{1}{c} \left[\frac{\partial Q_{\ell}}{\partial \ell} \right]. \end{cases}$$

A titre d'exemple, montrons ce que devient la première équation vectorielle (294) quand on effectue les opérations indiquées par les crochets; nous obtenons

(296)
$$-\frac{1}{c}\frac{\partial s}{\partial t} - \operatorname{rot} b - \operatorname{grad} S + \frac{2\pi i}{hc} \{V.s - [A.b] - A.S\} = \frac{2\pi i}{h} mc P.$$

Les équations (294) ainsi explicitées peuvent être considérées comme les équations ondulatoires, les équations (295) donnant la valeur des vecteurs b et s et des scalaires B et S. Introduisons ces valeurs dans

les équations (294). Nous obtenons, (286) et (287),

$$(297) \begin{array}{l} & DP + \frac{2\pi ie}{hc} \{-[\mathcal{H}.P] + H.P_t - [H.Q] - \mathcal{H}.Q_t\} = 0, \\ & DP_t + \frac{2\pi ie}{hc} \{(H.P) - (\mathcal{H}.Q)\} & = 0, \\ & DQ + \frac{2\pi ie}{hc} \{-[\mathcal{H}.Q] + H.Q_t + [H.P] + \mathcal{H}.P_t\} = 0, \\ & DQ_t + \frac{2\pi ie}{hc} \{(H.Q) + (\mathcal{H}.P)\} & = 0, \end{array}$$

où D est l'opérateur

$$D = \frac{\partial}{\partial x^2} + \frac{\partial}{\partial y^\circ} + \frac{\partial}{\partial z^\circ} - \frac{1}{c^2} \frac{\partial^2}{\partial t^2} + \frac{4\pi i e}{h c} \left(V \frac{1}{c} \frac{\partial}{\partial t} + A_x \frac{\partial}{\partial x} + A_y \frac{\partial}{\partial y} + A_z \frac{\partial}{\partial z} \right) - \frac{4\pi^\circ m^\circ c^\circ}{h^\circ} + \frac{4\pi^\circ e^2}{h^2 c^2} (V^2 - A_x^2 - A_y^2 - A_z^2),$$

et où H et & sont les forces électriques et magnétiques.

Posons

(299)
$$\begin{cases} \psi_{1} = P_{z} + iQ_{t}, & \psi_{2} = P_{x} + iP_{y}, \\ \psi_{3} = -P_{t} - iQ_{z}, & \psi_{4} = Q_{y} - iQ_{x}, \\ \omega_{1} = -P_{x} + iP_{y}, & \omega_{2} = P_{z} - iQ_{t}, \\ \omega_{3} = Q_{y} + iQ_{x}, & \omega_{4} = P_{t} - iQ_{z}. \end{cases}$$

Grâce à ces notations les équations (297) sont équivalentes au système

$$(300) \begin{cases} \mathrm{D}\psi_{1}+\frac{2\pi ie}{hc}(i\mathcal{H}_{x}\psi_{1}+\mathcal{H}_{c},\psi_{2}+i\mathcal{H}_{c}\psi_{1}-\mathrm{H}_{x}\psi_{4}+i\mathrm{H}_{c},\psi_{4}-\mathrm{H}_{z}\psi_{3})=\mathrm{o},\\ \mathrm{D}\psi_{2}+\frac{2\pi ie}{hc}(i\mathcal{H}_{x}\psi_{1}-\mathcal{H}_{y}\psi_{1}-i\mathcal{H}_{z}\psi_{2}-\mathrm{H}_{x}\psi_{3}-i\mathrm{H}_{c},\psi_{3}+\mathrm{H}_{z}\psi_{4})=\mathrm{o},\\ \mathrm{D}\psi_{3}+\frac{2\pi ie}{hc}(i\mathcal{H}_{x}\psi_{4}+\mathcal{H}_{c},\psi_{4}+i\mathcal{H}_{z}\psi_{3}-\mathrm{H}_{x}\psi_{2}+i\mathrm{H}_{y}\psi_{2}-\mathrm{H}_{z}\psi_{1})=\mathrm{o},\\ \mathrm{D}\psi_{4}+\frac{2\pi ie}{hc}(i\mathcal{H}_{x}\psi_{3}-\mathcal{H}_{c},\psi_{3}-i\mathcal{H}_{z}\psi_{4}-\mathrm{H}_{x}\psi_{1}-i\mathrm{H}_{y}\psi_{1}+\mathrm{H}_{z}\psi_{2})=\mathrm{o}. \end{cases}$$

auquel il faut ajouter un système équivalent mais où l'on a remplacé les ψ par des ω . Les équations (300) sont les équations du second ordre auxquelles satisfont les fonctions de Dirac ψ_1 , ψ_2 , ψ_3 , ψ_4 .

Si l'on pose

(301)
$$\begin{cases} \alpha_1 = -s_z + iB, & \alpha_2 = -s_z - is_1, \\ \alpha_3 = -ib_z + S, & \alpha_4 = b_y - ib_x, \\ \beta_4 = s_x - is_1, & \beta_2 = -s_z - iB, \\ \beta_3 = ib_x + b_2, & \beta_4 = -ib_z - S. \end{cases}$$

les équations (294) et (295) sont équivalentes à quatre systèmes de quatre équations; le premier a la forme suivante :

(302)
$$\begin{cases} p_0 \psi_1 + (p_1 - ip_2) \psi_4 + p_3 \psi_3 = -mc \alpha_1, \\ p_0 \psi_2 + (p_1 + ip_2) \psi_3 - p_3 \psi_4 = -mc \alpha_2, \\ p_0 \psi_3 + (p_1 - ip_2) \psi_2 + p_3 \psi_1 = -mc \alpha_3, \\ p_0 \psi_4 + (p_1 + ip_2) \psi_1 - p_3 \psi_2 = -mc \alpha_4, \end{cases}$$
où

(303)
$$p_0 = -\frac{h}{2\pi i} \frac{1}{c} \frac{\partial}{\partial t} + \frac{e}{c} V, \qquad p_1 = \frac{h}{2\pi i} \frac{\partial}{\partial x} + \frac{e}{c} A_x, \qquad \dots$$

Pour obtenir le second système, il suffit de permuter ψ et α; à savoir

(304)
$$\begin{cases} p_0 \alpha_1 + (p_1 - ip_2) \alpha_4 + p_3 \alpha_3 = -mc \psi_1. \\ \dots & \dots \end{cases}$$

Pour obtenir le troisième système, il suffit, dans (302), de remplacer ψ par ω et α par β , et enfin pour le quatrième de permuter ω et β dans le troisième système.

Il en résulte que, si ψ_1 , ψ_2 , ψ_3 , ψ_4 est une solution des équations de Dirac,

(305)
$$\alpha_{\mu} = \beta_{\mu} = \omega_{\mu} = \psi_{\mu} (\mu = 1, 2, 3, 4)$$

constitue une solution de (295) et de (297).

Examinons ce que deviennent ici les composantes

$$C^{\alpha}_{(e)} = \frac{1}{\sqrt{-g}} C^{\alpha}_{(e)}$$
 ($\alpha = 0, 1, 2, 3$)

du courant électrique (275). Nous poserons

(306)
$$C_{(e)}^{A} = \rho$$
, $C^{4} = j_{x}$, $C^{2} = j_{y}$, $C^{3} = j_{z}$.

En introduisant dans (275) les notations (281) à (293) on obtient

(307)
$$\rho = -\frac{1}{2} (\psi_1 \alpha_1^{\times} + \psi_2 \alpha_2^{\times} + \psi_3 \alpha_3^{\times} + \psi_4 \alpha_4^{\times} + \omega_1 \beta_1^{\times} + \omega_2 \beta_2^{\times} + \omega_3 \beta_3^{\times} + \omega_4 \beta_4^{\times} + \text{conjuguée}),$$

$$\begin{cases} j_x = \frac{c}{2} (\psi_1 \alpha_4^{\times} + \psi_1 \alpha_3^{\times} + \psi_3 \alpha_2^{\times} + \psi_4 \alpha_1^{\times} + \omega_1 \beta_4^{\times} + \omega_2 \beta_3^{\times} + \omega_3 \beta_2^{\times} + \omega_4 \beta_1^{\times} + \text{conjuguée}), \\ j_0 = \dots, \\ j_z = \dots, \end{cases}$$

$$(308)$$

de sorte que pour une solution de la forme (305), on obtient

qui sont précisément les expressions trouvées par Darwin (1), conformément à la théorie de Dirac.

⁽¹⁾ DARWIN, Proc. Roy. Soc., série A, vol. 118, nº A.780, p. 660, éq. (3.3).

TABLE DES MATIÈRES.

CHAPITRE I.

APPLICATION A L'ÉLECTROMAGNÉTOSTRICTION.

1	Champ gravifique massique et électromagnétique	ages. I			
	Théorème de l'impulsion et de l'énergie	4			
	3. Équations maxwelliennes généralisées				
	Hystérèse électromagnétique	4 6			
	Théorème de l'impulsion et de l'énergie électromagnétique	7			
	Équation de continuité	10			
	7. Puissance de striction et puissance d'hystérèse				
	Tensions de radiation	19			
	Application au champ de Minkowski	22			
	Système électromagnétique au repos	23			
	CHAPITRE II.				
	APPLICATION A LA THERMODYNAMIQUE.				
12.	Premier principe de la thermodynamique relativiste	25			
	Deuxième principe de la thermodynamique	28			
	Thermodynamique des systèmes électromagnétiques doués d'hystérèse				
	et animés d'un mouvement quelconque	29			
	11	-0			
	CHAPITRE III.				
	LA RELATIVITÉ RESTREINTE.				
1 K	La transformation de Voigt-Lorentz	29			
	Variance d'un élément de volume	30			
	Covariances et contravariances	31			
	Variances de la force électrique, de la force magnétique et de la densité	- 1			
. 0.	électrique	32			
19	Invariance de la charge électrique	33			
- 0.	an in the state of the same of				

TABLE DES MATIÈRES.

		Pages.
2 0.	Phénomène de Doppler et aberration des fixes	34
21.	Variance de l'énergie lumineuse	35
22 .	Thermodynamique des corps en mouvement rectiligne et uniforme	37
	Électromagnétostriction des corps en mouvement rectiligne et uniforme.	38
	Invariance de la constante universelle h de Planck	
	Réflexion sur un miroir parfait en mouvement rectiligne et uniforme	-
2 6.	Quantité de mouvement et énergie d'un électron de Lorentz en mouve	
	ment rectiligne et uniforme	40
27.	Variance de la masse	41
28.	Masse longitudinale et masse transversale	41
	CHAPITRE IV. APPLICATION A LA MÉCANIQUE ONDULATOIRE DE DIRAC GÉNÉRALISÉE.	•
2 9.	Équations gravifiques et électroniques	. 43
	Équations gravifiques, électroniques et photoniques	
	Principe de correspondance	
	Théorème de la conservation de l'électricité et théorème de l'impulsion	
	et de l'énergie, exprimés au moyen des potentiels photoniques	
33.	Théorème de compatibilité	-
	Équations quantiques de Dirac	
TA	BLE DES MATIÈRES	. 57